

Vysoká škola: strojní a textilní

Katedra: přádlenictví a zušlechtování

Fakulta: textilní

Školní rok: 1966/67

DIPLOMNÍ ÚKOL

pro s. Vladimíra Kalného

odbor specializace předení a pletení

Protože jste splnil požadavky učebního plánu, zadává Vám vedoucí katedry ve smyslu směrnic ministerstva školství a kultury o státních závěrečných zkouškách tento diplomní úkol:

Název tématu: Přádlna česané příze

Pokyny pro vypracování:

Vypracujte srovnávací studii technologii výroby česané příze směsové 45/55 vl/PE v Čm 40 pro přípravné sortimenty NSC (zkrácený systém s finisešůvry)

a) hřebenovými typ FG 3
b) vysokoprůtažnými typ FM 1
s použitím vysokých průtahů při vyprádání na strojích DC 65 a na dopředacích strojích DC 56.

Srovnávací studie by měla přihlédnout i k technologii uvedeného druhu česané příze z "lůžka" tj. zpracování obou komponent ve směsi a k technologii klasické (mísení obou komponent před přípravnami). Je samozřejmé, že je nutné přihlédnout i k surovinové skladbě.

Diplomní práce by měla dát odpověď na tyto otázky:

1. Která z technologií zabezpečuje nejlepší kvalitativní ukazatele vypředené příze;
2. Který z finisešů umožňuje výrobu kvalitnějšího přástu
3. Která z uvedených technologií je rentabilnější z hlediska nákladů.

Autorské právo se řídí směrnicemi MŠK pro státní závěrečné zkoušky č. j. 31 727/62-H/2 ze dne 13. července 1962-Věstník MŠK XII, seřízen ze dne 31.8.1962 § 19 autorského zákona č. 115, o § 5.

✓ 32/66

**VYSOKÁ ŠKOLA STROJNÍ A TEXTILNÍ
Ústřední knihovna
LIBEREC 1, STUDENTSKÁ 5**

Rozsah grafických laboratorních prací:

Rozsah průvodní zprávy:

Seznam odborné literatury:

Prof. Ing. J. Simon: Teorie předení

Prospektová literatura

Vedoucí diplomní práce:

Prof. Ing. Jaroslav Simon

Konsultanti:

Ing. Jan Jura CSc

Datum zahájení diplomní práce:

26. 9. 1966

Datum odevzdání diplomní práce:

5.11. 1966

L. S.

Vedoucí katedry

Děkan

v

Liberec

21.10.1966

dne

196

VŠST
LIBEREC

Přádelská česká příroda

DP

5. LISTOPADU 1966
str. 1

Prohlašuji, že jsem na diplomní práci pracoval
zcela samostatně, a použil jsem jen literatury uve-
dené v seznamu.

Vladimír Kahy

Obrázek.

I. Úvod.

- 1/ Význam sněcování.
- 2/ Vlastnosti sněcových vláken vlny a polyestera.
- 3/ Optimální sněci.

II. Technologický postup výroby sněcové ptice z lúžky.

III. Technologický postup výroby sněcové ptice "klasický".

IV. Vyhodnocení následujících výsledků

- 1/ Stepirový diagram.
- 2/ Stanovení jemnosti vláken.
- 3/ Rozbor nestejnorovností.
- 4/ Rozbor cykloprogramu.

V. Rozvádzání nákladů.

VI. Závěr.

VII. Přílohy.

VIII. Seznam literatury.

I. Úvod

1. Význam antsočení.

Suočování různých druhů textilních vláken nám umožňuje srovnat fyzikální, výrobničí a fyziologické vlastnosti textilií. Ocenění spotřeby vlny v době války zrychlilo vývoj sběru ze snětí, tehdy se tyly sněti vlny a viskozou stříží. Peknok jehož se dnesklo v období desetiletí let, současnou vlnou a tvarou mítou v textilní výrobě. Druhym kvantitativním i kvalitativním okresem bylo rozvojení syntetických vláken do textilní výroby.

Tři hlavní důvody antsočení jsou tyto:

- 1/ ekonomický
- 2/ technologický
- 3/ funkční

Cenový faktor současného antsočení nelze podcenit, využitím vlny v průmyslu, když se tím ponechává nabídka nad požadavkou a když se současně požaduje současně jakost výrobku jisté minimální hodnoty. Dalším důvodem je snaha po využití výhodnosti a nejpozději spracovatelnosti.

Dnes se věnuje zejména použití antsočení, jinž se má dočítit lepších funkčních vlastností hotových výrobků. Zvyšení užitné hodnoty, zlepšení oděvů, posílit pečlivě při nařízení, současně odstraňovat, stabilita tkanin, trvanlivost a estetické vlastnosti jsou určedem pozemnosti.

2. Fyzikálně mechanické vlastnosti vlny a její vláken.

Vlna - nejmenší vlastnosti vlny je poměrně vysoká pevnost, vysoká tenčost, oděsnost, měkkost a hřejivost. Plastivost a odlnuškovitost je výhodou a dalekolesnou vlastností vlny, podobně jako jiných živočišných vláken. S výbornou hygroskopickou vlastností a betnáním vlny souvisí dobrá elektrická vodivost. Nevhodnou vlny je klenuté jeji neustojnosrnost v délce a tloušťce vlny a velké rozměly v jemnostech různých druhů vln. Je velmi možné na výšších / surová vlna obsahuje 20-80% mědi- tet,

VŠST
LIBEREC

Zpráva o výrobě polyestru

DP

5. LISTOPADU 1966

Vlákno		
polyestru	v tahu na svářku	2,0 - 2,0
	v tahu na svařování	0,8 - 1,0
	na svařování na svářku	0,8 - 1,6
	v tahu na svářku	0,9 - 1,7
textilní	na svařování	20 - 40
	na svařování	30 - 60
polyestru, hmotn. v g/cm ²		1,38

Polyestrové vlákno má vlastnosti podobné polyestrových vláken, je však mnohem jemnější než tyto. Nejdří využívají se k výrobě textilních i ne výrobek, dočasného zavlažování a také v řadě jiných aplikacích. Polyestru v tahu a svařce je téměř tak tvrdé jako v řadě jiných materiálů. Zavedenou je akademickou teorií elektrosvářování a využívá se k výrobě textilního materiálu. Využívá se v oblasti řemesel a je využíván v různých výrobních procesech např. při výrobení tepelných.

Polyestrové vlákno		
polyestru	v tahu na svářku	2,2 - 4,3
	v tahu na svařování	3,2 - 4,3
	na svařování na svářku	6,0 - 10,0
	v tahu na svářku	3,7 - 5,0
textilní	na svařování	25 - 40
	na svařování	25 - 40
polyestru, hmotn.		1,38 g/cm ³

VŠST
LIBEREC

六月三十日

DP
5. LISTOPADU 1966

1

A dark, horizontal smudge or redaction mark located at the bottom of the page, centered horizontally.

REVIEW

卷之三

[REDACTED]

五言律詩

II. Technologický postup výroby česací příze
45/55 vln.-Pc Čm 60 t.sv. sítka 10 x 10 mm:

1. Mísení.

Přádelna česací příze v Kraslicích, kde jsou prováděny na své diplomové práci, spracován vlněný materiál barvený ve vlnách. Vlněná surovina přichází do přádelny silnou vlnou v řešetech. Před směsím je třeba tento silnou vlnou materiál rozvinut. Rozvinutí je důležitou součástí procesu při spracování vlněniny v přízi. Důležitost rozvinutí vlivuje a následujícem: a/ Rozvinutí je nutnou podmínkou pro dobré mísení jednotlivých komponentů vlnění. Praxe i teorie nám dokazuje, že silnou komponentu je téměř úplnější, čím důležitější jsou tyto komponenty před silnou rozvinutím rozvinutý. b/ Rozvinutí je nejdůležitějším předpokladem k otiskování vlněnité hesty od nejdůležitějších příruček a nečistot, protože při rozvinutí nejdříve rozdělení materiálu ne vznikají vlnky, zatím co se zlepšuje soudržnost příruček a ustájet s mezikvalitami, které se nedají odstranit mechanickou činností.

Rozvinutý materiál se sestří a je připraven k lítání. Připravovaní obousměrného materiálu dosahuje vrstvení a je pak dochraňováno na vlnkách čechradla. Vrstvení materiálu mohou posloužit a nejdříve nahradit jen čechradlo. Láze je důležitou součástí vystřívání než vlnky mechanicky ochránit, protože každá čechradla způsobuje trhání materiálu. Při vrstvení musí být vrstvy silnéjší než 10 cm. Čechradlo materiálu s vlnkami čechradla je možno vrstvit opět na sebe.

Mastívání se dospívá hladkého povrchu vlnky, vlnky se dostává eliptičnost, aby se vlny upínat, při vystřívání vlnky a čechradlo je vlnky mohou směřovat, aby vlnky k sobě lítala, aby takto se vlny při vystřívání posunovat. Hloubkou masticího průstředku potřeb-

něho k zaštáňí závěti na jemnosti vláken a na čísle
pládené příze. Jemnější vlákna a vyšší číslo příze
vyžadují důkladnějšího zaštáňí. Nejmenší možství
eleje nutné k tomu, aby se zabránilo prohnaní vlá-
kna je 1-2% a výhy materiálu.

Po zaštáňení a odložení se bere materiál ve svíleném
sněru a dává se do nákladce mykačího stroje.

2. Mykaní.

Účelem mykaní je rozvolnit materiál na menší vlásky
až jednotlivá vlákna, odstranit rostlinné přívěsky
a jemné nečistoty, které se z vlny uvalní rezvlákněním.
Mykaní se dosáhne rovněž vyleučení celé krátkých
vláken a urovnání vláken do rovnoběžné polehy. Mykaní
se má ji také rozdělit vlákna stejnoučkou v plášť te-
mnoučké pavučiny, která se přenáší v pramen, vhodný pro
další zpracování.

Pro směs 45/55, vl-Pe se používá mykačího stroje
dvojitého. Tento dvejity mykačí stroj se skládá z auto-
matického nákladče, rozvolňovacího předmykačího ústro-
jí /aventrain/, odřepíkovacího ústrojí a dvou bubenů s
příslušnými válci pracovními, ohrazení, velantem a ani-
macím válcem. Stroj je zakončen ústrojím navijecím, kde
se pavučina chytí na pramen navijí křížově na cívku.

Průtah v mykačím stroji. V mykačím stroji nastává
zjemnění masy vláken překážkou přiváděné vratvy. V Kf-
sických používané mykačí stroje Marchetti mají průtah
120 ti násobky. Celkový průtah v mykačím stroji, pečí-
taný s obvykové rychlosti snímacího válce a válečků
pedávacích je menší než skutečný průtah ve stroji, máme-li
na mysli rozestření vláken na povrchu tamburu, neboť
mezi snímacím válcem a tamburem nastává zhuštění vláken.
Zhuštěním vláken se tvorí pavučina a s ní pramen. Veli-
koost zhuštění je 20-40 násobné, je to opak průtahu.
Rychlosť odvádění je 28m/min. Váha odváděného pramene
12,5 g/m. Výkon jednoho stroje je 17,6 kg/hod.

3. Předběžné posukování

U mykaného pramenu je cíce materiál rozvlákněný, ale všechna vlákna neleží úplně revněběžně, nýbrž část vláken je navzájem spletena a jednotlivá vlákna zprohýbána. Pramen není také úplně stejnoměrný v tloušťce. Šikme nebo přičně ležící vlákna v pramech by se při následujícím česání trhala, nebo by přišlo mnoho těchto vláken do výčesků. Aby se tomu zabránilo je třeba přivést pokud možno všechna vlákna pramene do revněběžné polohy. Tato usměrnění vláken v pramech pře česání se dosahuje protahováním v posukovacích strojích.

Princip protahovacích strojů je v tom, že se prameny přiváděné menší rychlostí pedávacích válečků, protahují rychleji běžicími válečky odváděcími. Nastane tedy zjednání pramenů, přičemž všechna vlákna ležící v pramech přičně nebo šikme se dostávají více a více do revněběžné polohy.

Používá se 2 posádky posukovacích strojů, jimiž procházejí prameny před česáním za sebou. Jako připravných strojů posukovacích pro česání se používá výhradně strojů s dvojitým jehelným polem, které umožňují celkové propojování posádek.

I. posukování po mykání: předkládaná váha 12,5 g/m, družení 8 násobné, průsek 5,7 násobný. Odváděcí rychlosť 23 m/min. Výkon stroje 92 kg/hod.

II. posukování po mykání: předkládaná váha 17,5 g/m, trojnásobné družení, průsek 5,8 násobný. Odváděná váha 9 g/m. Odváděcí rychlosť 30 m/min. Výkon stroje 124 kg/h.

4. Česání

K získání co možno stejnoměrné a hladké příze je třeba především zástejnění a stahování, čehož se dosáhne česáním. Česání je jedním z nejdůležitějších úkolů při výrobě česané příze. Kromě odstranění krátkých vláken je úkolem česání odstranit zbylé přímesky a dále urev-

nat vlákna do rovnoběžné polohy. Procesaná vlákna se spojují v souvislý pramen, sváry česací.

Používá se plochých česacích strojů, které pracují přetržitě. Na těchto strojích se podává nová délka pramene pro česání současně s odtržením procesované části třídané. Přivádí se 18 pramenů. Práci česacího stroje lze rozdělit na tři období:

- a/ česání česacím bubnem
- b/ příprava k podání
- c/ odtržení, odcesávání a podání

Výrobkem česacího stroje závisí na celkové váze podávaných pramenů, délce podávání, rychlosti česacího bubnu, odpadu při česání, softu stroje, srovnateli obalu a tříd. Výkonnost česacích strojů v Křešicích je 4,7 kg/hod. Využití je při tom 78 %.

5. Doplňkové posukování.

Pramen podávaný česacím strojem vznikl překládáním jednotlivých podávacích třídní vláken. Má také srovnatelnou úpravu stejnou rychlosť. K posukování se používají podobných strojů jako při posukování předběžném. Protože na těchto strojích můžeme pracovat s opezeným držením a průtahem, je třeba použít even posilu.

I. posukování po česání: Družení 10 násobné, průtah 7,3. Odváděná váha 24g/m, rychlosť odvádění 105m/min.

II. posukování po česání: Družení 7 násobné, průtah 7,6. Odváděná váha 22g/m, rychlosť odvádění 105m/min.

6. Předcesávání.

Pro lepší uspořádání vláken česací pramen ještě jednou předcesáváme. Využíváme tedy k předcesávání použity česací stroje stupňového typu. Po předcesávání jsou zařazeny další dvě poslední posukovacích strojů.

Z česáren jde česacce do předprádelny, te je první oddělení prádelny česacé příce.

7. Předprádelny.

Má-li být česací příze stejnoslavná, hladká a pevná, vyžaduje to dokonalého propichání vláken. Toho se dosahne opakováním druháním a protahováním, jinž se přivede vlákna do rovnoběžné polohy, kteroužto ve směru osy pramenu. V případě vlnaté se genitivu skrácený připravovánky sortiment MSC.

Sortiment se sestává ze čtyř modifikací a dovoluje spracování čisté vlny, čisté viskozové příze nebo syntetických vláken a směsi. Za předpokladu použití vysokopružných materiálů na protahových deformačních strojích je možno vyprádat nejjednodušší česací příze.

I. modifikace: jeden rychleběžný intersektoring jednohlavový a automatickým využíváním nového mechatronického systému jednotky generuje do jedné kanve a průměru 600mm a výšce 900mm. Předkládaná váha je 20g/m, druhání 10 tis. násobků, záťatka 9ti nás., odváděná váha je 24g/m, ovládací rychlosť 85m/min, výkon 80kg/hod při 10% využití.

II. modifikace: jeden rychleběžný intersektoring jednohlavový k odvádění čvora přináší do druhé kanvi a průměru 600mm a výšce 900mm. Předkládaná váha je 24g/m, čtyřpruhové druhání, záťatka 8,8. Odváděná váha 11g/m, rychlosť ovládání je 80m/min, výkon 78kg/hod při 70% využití.

III. modifikace: dva rychleběžné intersektoringy jednohlavové a využadem čtyř generacemi do druhé kanvi a průměru 400mm a výšce 900mm. Předkládaná váha 11g/m, čtyřpruhové druhání, záťatka 8,8. Odváděná váha 2,5g/m, výkon 71kg/hod při 70% využití, rychlosť odvádění 60m/min.

IV. modifikace: Stroj se sestává dvoje stroje česací pouze. Mohou to být výrobků představené firmou EM-1 a generují protahovací ústrojí a naho se staví finisérky a inkbenzové protahovací systémy, typ FG-3.

Vysokorychlostný činadlo NSC model 200-1.

Stroj je charakteristický vysokorychlostním zavíjením dvojkružíkovým. Průtahové ústrojí sahá do pozadí a stroje se skládá ze dvou obíhajících pásků ze syntetické gumy, mezi nimiž prochází zavíjecí pramen. Vlákna jsou kontroleována čtyřmi kontrolními válečky, nacházejícími se uvnitř vrchního obíhacího pásku. Tyto válečky přihlašují vrchní obíhaci pás na spodní, vedoucí vedení. Přítisk kontrolních válečků je nastavitelný a může se podle spracovávaného materiálu.

Princip pracovního postupu.

Prvotný ještěr je přivedený k konci očedníku a prochází skupinou příváděcích válců, skladby jež se ze dvou rychlovařených opevněných válců s průměrem 40mm a jednoho přitlačného válce s potahem ze syntetické gumy s průměrem 70mm. Odtud ještěr prameny do průtahového ústrojí a ještěr začíná vstoupit do průtahovými válcemi.

Skupina průtahových válců se opakruje a dvejice rychlovařených válců s průměrem 25 a 50mm s jednou vlnou s potahem ze syntetické gumy, kterou je shodný s přitlačným valem příváděcích ústrojí s průměrem 70mm. Přetažené prameny jsou potom zaoblovány zaoblovacími pásky ze syntetické gumy a navijeny na očkování vedení na hřebené cívky s dvojítným pramenem.

Dalejší je možnost překládatelné prameny a podávacími válečky. Při překládatelné možnosti je dán k zadání falešného základu. Druhou překládatelnou prameny může být zadání pěnového gumového pravidla pro zajištění optimálního vedení. Při spracovávání materiálu s kleštěmi stupňu a velké překládatelné vlny může při spracování mít i vyšší procenta chemických vláken a deperduje horní pás protahu jenž má svýdít. Je to provedeno tím, že vedoucí váleček pásu se může sypatelně posunout. Při tomto setízání je třeba eviknout přítisk kontrolních válečků.

Mezi dveupáskovým ústrojím a průtahovacími válci musí být vložen zhuštěvací a umělé hmoty.

Stroj je určen pro 10 ti až 30ti násobný průtah. Hranice praktického průtahu je však odvislá jednak od zpracovávaného materiálu, jednak od váhy předkládaného proužku. Takže mezi průtahovými válci a zhublovacími pásy musí být přesně upřízen. Při příliš malém tahu je přást neúchytaný a má malou seudržnost. Příliš vysoký průtah naproti tomu způsobuje v případu natření /slabé místo/. Rychlosť zhublovacích pásků je 9-11ppsmu a je jedna metr odvedeného přástu. Při malém zdvihu zhublovacích pásků je možno pracovat s větší odváděcí rychlosťí. Při velkém zdvihu zhublovacích pásků je nutné snížit rychlosť stroje.

Tah mezi zhublovacími pásky a navíjejícími válci musí být upřízen tak, aby vznikla pevná cívka.

Jednoradový hřebenový posuvkovací stroj se zhublovacími pásky, model PG-3.

Průtažné ústrojí tahací posuvkovacího stroje se sestává z jednoduchého jehelného pole s stupňem 2x7,5mm. Stroj má 12 průtahovacích hřebenů a dodává 24 přásty /2 na hřeben/. Jehelné pole obsahuje 27 hřebenů a vykazuje takový sklon, který evlivičně přináší zatahování vláken mezi hmoty a tím zlepšuje spětné držení vláken při průtahu.

Prameny přicházejí od stojanu, procházejí zadní dvějicí podávacích válečků, sestávajících se z rýhovaného zadního válečku s průměrem 40mm a přítlačného válečku s průměrem 60mm, opatřeného povlakem ze syntetické gumeny. Pak procházejí prameny mezi hladkým podávacím válečkem a hladkým přítlačným válečkem. Poté vstupují prameny vedeny pevnými tlakovacími elementy do jehelného pole. Jsou průtahovány dvojitými průtažnými válci s průměru 25 a 50mm a přítlačným válečkem s průměru 70mm, petaženým syntetickou gumou. Jehelné pole je délky 105mm a široké 90mm. Jehly mají délku 15mm.

Vzniklé přásty jsou pak zaoblovány zaoblovacími pásy ze syntetické gumy a navijeny na křížové cívky s dvojitým návinem.

8. Doprádání.

Úkolem deprádání česané příze je protáhnout vlná nezkroutená vlákna přástu na žádanou jemnost a spojit přízi ~~zkroutením~~. Používáme prstencových deprádacích strojů typu DC-56 a DC-65.

Sprádací stroj na česání přízi typ DC-65 je určen pro sprádání česané příze vlněné, manipulované směsi vlna - buničinová stříž, a příze buničité, a to z přástu, který je vyroben kontinuálním způsobem, t.j. bez zákrutu.

Z přástečných cívek, které jsou předloženy na cívečnici, jde přást přes vedlejší tyč do průtahového zařízení, kde se mezi dvěma páry válců protahuje podle potřeby. Aby namastalo ~~opeřebení~~ rýhovaných válců a povlaků přitlačovacích válečků v jednom místě, je udílen přástu axiální pohyb.

Zprůtahového zařízení prochází přást vodičem, zavíracím balenem a běžcem k vřetení. Běžcem na prstenci je přást zákraceván v přízi a vlivem opožděování za otáčejícím se vřetenem je příze navijana na petáč. Průtahové zařízení původního stroje DC-65 je jednoremínkové, dnes se však montují horní pásky za účelem zvýšení průtahu a zlepšení kontroly vláken.

Doprádací stroj typ DC-56 je určen pro sprádání česané příze vlněné, manipulované směsi vlna - viskozová stříž, vlna - synthetické stříž, případně i jiné směsi a to z přástu, který je vyroben kontinuálním způsobem t.j. bez pravého zákrutu. DC-56 se liší od DC-65 větším počtem vřeten, vyšším průtahem a většími otáčkami. Průtahové ústrojí deprádacího stroje DC-56 je dvouřemínkové.

III. Technologie výroby směsové příze 45/55 vl-Pe
"klasickým způsobem."

Běžným způsobem sprádání vyrábíme čistě vlněný česanc. Tento česanc se mísi s polyesterevým česancem vyroběným z kabelu na konvertoru. Míšení se provádí na míšicích strojích před přípravou. Konverterová výroba česance vylučuje mykání, dvě pasáže posukování, česání a další dvě pasáže posukování po česání. Tyto dva česance se mísi na míšicím stroji NSC a mohou se smíšené přečesávat. Dále prochází tento smíšený česanc čtyřmi pasážemi přípravný a dopřádá se na prstenecových dopřádacích strojích.

Technologický postup pro IV. pasáž I. přípravárenského sortimentu:

předkládaná váha 6,6 g/m, bez družení, průtah 10 ti násobný, váha odváděná 0,66 g/m, počet strjù 2, počet hlav 12, počet cívek 24, počet vývodù 48. Odváděcí rychlosť 60 m/min. Výkon 86 kg/hod při 75% využití.

Technologický postup pro IV. pasáž II. přípravárenského sortimentu:

předkládaná váha 2,5 g/m, družení dvojnásobné, průtah 7,5 násobný, odváděná váha 0,66 g/m, počet strojù 2, počet hlav 12, počet cívek 24, počet vývodù 48. Odváděcí rychlosť 60 m/min. Výkon 80 kg/hod při 70% využití.

IV. Vyhadnocení naměřených výsledků.

1/ Kladený staplevý diagram.

Sestavením vytříděných chemáčků vláken ze staplesvacího přístroje, na konceztní podložku, stejneměřně hustě vedle sebe dostaváme staplevý diagram, kterého se používá ke grafickému výpočtu některých hodnot, důležitých ke klasifikaci suroviny. Planimetrováním získáme hodnotu plechy P mezi souřadnými osami a staplevou křivkou, takže pro střední délku vláken můžeme psát relaci:

$$l = \frac{P}{Z} \quad l - \text{střední délka vláken v mm}$$

P - plech staplevého diagramu
v mm

Z - základní diagramu v mm

Efektivní délka stanovená z diagramu geometrickou konstrukcí udává hodnotu, která při kolísání nejdélších a nejkratších vláken ve zkoušeném vzorku se mění jen nepatrně, takže může být výhodně považována za srovnávací hodnotu pro klasifikaci staplevého diagramu.

V půlícím bodě A maximální délky vláken, obr. VII.1.2-vedené rovnoběžku se základnou, která nám protíná staplevou křivku v průsečíku B jehož průměr na ese vytiná úsek z_1 . Ve vzdálenosti $z_1/4$ od počátku, v bodě C, vztýčíme kolmici a v jejím středu D, vedené opět rovnoběžku se základnou. Kelmice spuštěná z průsečíku F vytiná na ese f úsek z_2 , kterého použijeme ke konstrukci velké a malé efektivní délky.

Ve vzdálenosti $z_2/4$ od počátku, v bodě K, vztýčíme kolmici E, která udává velkou efektivní délku. Podebně ve vzdálenosti $3/4 z_2$ od počátku dostaváme malou efektivní délku e. Rozdíl mezi oběma oběma efektivními délkami nám udává rozptyl nebo dispersi, takže platí:

$$D_i = \frac{E - e}{E} \cdot 100$$

D_i - disperce vláken ve zkoumaném vzorku v %

E - velká efektivní délka v mm
e - malá ef. délka v mm

Množství krátkých vláken vyjádříme vztahem:

$$k = \frac{Z - Z_1}{Z} \cdot 100$$

Na obr. VI.1 je nakreslen kladený stапlevý diagram česance, který byl vyroben smísením polaesterového a vlněného česanců na míšicím stroji t. zv. technologie "klasickeu". Na dalším obrázku č. VII.2 je nakreslen kladený stапlevý diagram česance, který byl vyroben míšením polyesterových a vlněných vláken t. zv. technologie z "lúžka".

Jestlže srovnáme oba obrázky jasně vidíme témař ideální průběh stапlevého diagramu česance vyrobeného klasickým způsobem. Naopak stапlevý diagram česance vyrobeného "z lúžka" vykazuje značné zkrácení vláken, což jistě musí ovlivnit průběh dalšího zpracování a nакenec i konečný výsledek t. z. kvalitu příze.

Na přípravně se nám projeví tato značné množství krátkých vláken, tím že vlákna v průtahových pelech jsou nedostatečně kontrolovana. Vlákna, která opustí zadní páry protahovacích válečků nemohou být zachycena předním párem protahovacích válečků a jsou unášena okolními vlákny, která byla zachycena v předním páru protahovacích válečků. Tato "pleveuci vlákna" nejsou dostatečně napřímená a urovnaná do rovnoběžné polohycež se musí projavit na celkové nestejnometrnosti přástu.

Zkrácení vláken u technologie "z lúžka" si vysvětlují tím, že na mykacích strojích, kde jsou vlákna vystavena značným silovým účinkům mykacích pevnišek na jednotlivá vlákna, dochází patrně k trhání vlněných vláken, která mají menší pevnost než vlákna polyesterová.

Stапlevý diagram česance vyrobeného "z lúžka" je nakreslen na obrázku č. VII.2.

Plecha P, která je vyznačena stапlevou křivkou a oběma osami stanovíme planimetrováním.

$$P = 18820 \text{ mm}^2$$

Střední délka pak bude dána vztahem:

$$l = \frac{18820}{243} = 77,5 \text{ mm}$$

kde plecha staplového diagramu $P = 18820 \text{ mm}^2$
základna staplového diagramu $s = 243 \text{ mm}$

Geometrickou konstrukcí získáme hodnoty efektivní délky a obou úseků a_1 , a_2 na ese f.

velká efektivní délka	$E = 112 \text{ mm}$
malá efektivní délka	$e = 83 \text{ mm}$
úsek na ese f	$s = 132 \text{ mm}$

Disperze bude dána vztahem:

$$D_s = \frac{112 - 83}{112} \cdot 100 = 26 \%$$

Množství krátkých vláken:

$$k = \frac{243 - 132}{243} \cdot 100 = 37,4 \%$$

Staplový diagram česance vyrobeného "klasickým způsobem" je nakreslen na obrázku č. VII. 1.

$$P = 20850 \text{ mm}^2$$

střední délka $l = \frac{20850}{267} = 78 \text{ mm}$

plecha staplového diagramu $P = 20850 \text{ mm}^2$
základna staplového diagramu $s = 267 \text{ mm}$

velká efektivní délka	$E = 112 \text{ mm}$
malá efektivní délka	$e = 78 \text{ mm}$
úsek na ese f	$s = 200 \text{ mm}$

$$\text{Disperse} \quad D_i = \frac{112 - 78}{112} \cdot 100 = 30,2 \%$$

změnitví krátkých vláken

$$k = \frac{267 - 200}{267} \cdot 100 = 25,2 \%$$

Vyhodnocení váhevého staplového diagramu.

Váhevý stапlevý diagram, který určuje závislost mezi váhou vytříděné skupiny vláken k příslušné délce dává hodnoty střední délky i hodnoty variacionního koeficientu, odlišné od četnostního staplového diagramu.

Pro výpočet střední délky vytříděné skupiny vláken určíme a stanovíme jejich váhevý podíl v pro který platí:

v_i - váhevý podíl i-té skupiny vláken v %

g_i - četnost i-té skupiny vláken v %

\bar{L} - střední délka vláken z váhevého diagramu

Střední délka vláken bude pak dána vztahem:

$$\bar{L}_v = \frac{\sum L_i \cdot v_i}{\sum v_i} = \frac{\sum L_i \cdot g_i}{100}$$

Nestojněnost určíme podle vztahu:

$$N_v = \frac{v_{\bar{L}}}{\bar{L}} \cdot 100$$

pro průměrnou úchytku

$$= \frac{\bar{L}/\bar{L} - 1/v_{\bar{L}}}{100}$$

Hodnota variacionního koeficientu bude dána poměrem sněrodatné úchytky a střední délky.

VŠST
LIBEREC

Přádelna česané příze

DP
5. LISTOPADU 1966
19

$$v_v = \frac{10\sqrt{41} - 1}{l_v} v_i$$

N_v - nestejnomořnost délky váhevého diagramu v %

w_v - průměrná odchylka váhevého diagramu

v_v - variacioní koeficient váhevého diagramu v %

Zakreslením jednotek váhevého podílu v procentech na osu úseček a příslušných délek l jednotlivých skupin na osu pořadnic, dostáváme křivku váhevého stavu.

Váhevý diagram česance vyrobeneho "z lúžka".

Vytříděné skupiny vláken zvážime na teraních vahách.

rosteč hřeb.	l_i	G_i	v_i	l_{gi}	$/l_i - l/v_i$	$/ l_w - l/v_i$
mm	mm	kg	%	mm	mm	mm
117-104	110	26	2,95	324	139,5	6340
104-91	97	225	24,63	2390	823	29300
91-78	84	152	16,63	1399	338	6900
78-65	71	76	8,33	590	61,6	457
65-52	58	88	9,64	558	54	320
52-39	45	126	13,83	622	257,5	4800
39-26	32	110	12,05	386	980	12000
26-10	18	86	9,42	170	430	19800
10-5	7	25	2,72	19	154	8560
Σ	914	100		6358	2631,6	88477

2631,6

Střední délka vláken z váhevého stavu:

$$l_v = \frac{6358}{100} = 63,6 \text{ mm}$$

Nestejnomořnost váhevého stavu:

$$N_v = \frac{2632}{63,6} = 41,3 \%$$

VŠST
LIBEREC

Přádelna česané příze

DP
5. LISTOPADU 1966
20

Variační koeficient

$$V_v = \frac{10 \sqrt{88477}}{63,6} = 44 \%$$

Vynesením hodnot váhevého podílu v na osu úseček a příslušných délek l dostaváme váhevý staplový diagram česance vyrobeného " z lůžka " obr. č. VII 4.

Váhevý staplový diagram česance vyrobeného " klasickým " způsobem. Je na obr. č. VII 3.

rozmezí hřeb.	l_i	s_i	v_i	$l_i \cdot v_i$	$\sum l_i \cdot l_i \sqrt{v_i}$	$\sum l_i - l_i \sqrt{v_i}$
mm	mm	mg	%	mm	mm	mm
117-104	110	40	4	440	198	9840
104- 91	97	80	8	776	292	10720
91- 78	84	220	22	1842	517	12100
78- 65	71	125	12,4	880	130	1365
65- 52	58	177	17,6	1020	44	110
52- 39	45	148	14,7	661	228	3500
39-26	32	89	8,8	282	252	7170
26- 10	18	60	6	108	255	10800
10- 5	7	65	6,5	45,5	348	18650
Σ	1004	100		6054,5	2263	74275

Střední délka vláken z váhevého staplu:

$$l_v = \frac{6054}{100} = 60,5 \text{ mm}$$

Nestojnoměrnost váhevého staplu:

$$N_v = \frac{2263}{60,6} = 37,4 \%$$

Variační koeficient:

$$V_v = \frac{10 \sqrt{74275}}{60,6} = 45 \%$$

VŠST
LIBEREC

Předelna česané příze

DP

5. LISTOPADU 1966

21

Stanovení jemnosti vláken.

Podebně jako u příslušníků vyjadrujeme i jemnost vláken metrickým číslem Čm. Z definice metrického čísla, které nám udává poměr určité délky vláken k jednotce jejich váhy, dostáváme pro metrické čísla vztah:

$$\bar{C}_{\text{eff}} = \frac{1}{k}$$

Připravený vzorek směsi vláken vl + Pe byl nařezán na délku 1 mm a z této stříže byly sítány preparáty zalištěny do glycerinu. Tloušťka vlákna byla měřena na matnici lanametru milimetrovým měřítkem za 500 násobného zvětšení. Celkem bylo provedeno 300 měření, jejichž hodnoty jsou uvedeny v tabulce.

Pedmínky v laboratoři: $t = 24^{\circ}\text{C}$

rel. vlhkeat 65 %

$$x_0 = 10 \quad h = 1 \quad n_j = \frac{x_j - x_0}{h}$$

x_0 - třídní hranice s nejvyšší četností

h - délka třídního intervalu

n_j - edchylka libovolného j -tého intervalu

$$\bar{x} = x_0 + \frac{h}{2} \leq u_j \cdot n_j$$

$$\bar{x} = 10 + \frac{21}{300} = 10,07 \quad \text{Průměr vlákna} = \frac{10,07}{500} = \\ = 0,0208 \text{ mm} = 20,08 \mu$$

$$s = \sqrt{\frac{h^2}{n-1} \left[\sum_{j=1}^k u_j^2 n_j - \frac{1}{n} \left(\sum_{j=1}^k u_j n_j \right)^2 \right]}$$

s - směrodatná odchylka

$$s = \sqrt{\frac{1}{299} \left[1303 - \frac{1}{300} \cdot 21^2 \right]}$$

$$s = \sqrt{4,37} = 2,082$$

$$v = \frac{s}{\bar{x}} \cdot 100 = \frac{2,082}{10,07} \cdot 100 = 20,78 \%$$

v - variacioní koeficient

Stanovení čísla metrického.

$$\tilde{c}_m = \frac{l}{g}$$

l - celková délka vláken v m
 g - celková hmota vláken v g

VŠST
LIBEREC

Prádelna česací příze

DP

5. LISTOPADU 1966

23

Obecně pro ideální vlákno o kruhovém průřezu můžeme psát vztah:

$$\frac{\pi d_o^2}{4 \cdot 10^8} \cdot 1 \cdot 10^2 \gamma = g$$

d_o - střední průměr
vlákna v μ

γ - specifická hmota
vlákna v g/cm^3

Takže pro metrické číslo dostaváme vztah:

$$\text{čm} = \frac{4}{\pi d_o^2 \gamma} \cdot 10^6 = \frac{1273}{d_o^2 \cdot \gamma} \cdot 10^3$$

$$\text{čm} = \frac{1273}{20,1 \cdot 1,35} \cdot 10^3 = 2310$$

Počet vláken v přízi je dán vztahem:

$$n = \frac{\text{čm}_v}{\text{čm}_p}$$

Pro naš případ:

$$n = \frac{2310}{40} = 58$$

3/ Nestejneměrnost produktu získaná vyhodnocením na přístroji pro zkoušení nestejneměrnosti "Uster".

Pro dosažení stejneměrné příze je třeba, aby již produkty z jednotlivých výrobních stupňů při spřádání byly co nejstejneměrnější. Obtíže při decilonování stejneměrnosti výrobku při spřádání jsou způsobovány hlavně nestejneměrností vlákkenných surevin. Nestejneměrnosti však mohou být zaviněny i pracovními orgány jednotlivých strojů. Také nedokonalé premíšení způsobuje, že vlákna jsou ve výrobku nestijneměrně rozdělena, takže produkt je nestejnoredý.

Zřízení pro zkoušení nestejneměrnosti "Uster" určuje nestejneměrnost váhy připadající na jednotku délky pramenů, přástů a přízí. Registrační přístroj zaznamenává současně s měřením průběh váhy na délce jednotku na pás registračního papíru. Údaj váhy na délce jednotku je relativní, t.zn., že dostaneme prostřednictvím délky desek kondensátoru výchylku úmernou váze. U této automatického integrátoru dostaneme na konci měření hotový korigovaný výsledek.

Prevezní způsob "Normal".

Při této poloze spínače pro způsob prevezu "Normal" dostaneme na výstupu přístroje pro zkoušení nestejneměrnosti údaj, který dává přesný obraz o výkyvech vyskytujících se ve zkoušeném materiálu.

Měřicí a funkční princip zřízení.

Elektrický měřicí kondensátor tvoří snímací orgán u vysokofrekvenčního elektrického přístroje pro zkoušení nestejneměrnosti "Uster". V principu jej tvoří dvě rovnoběžné kovové desky, t.zv. elektrody, které jsou postaveny proti sobě v určité vzdálenosti.

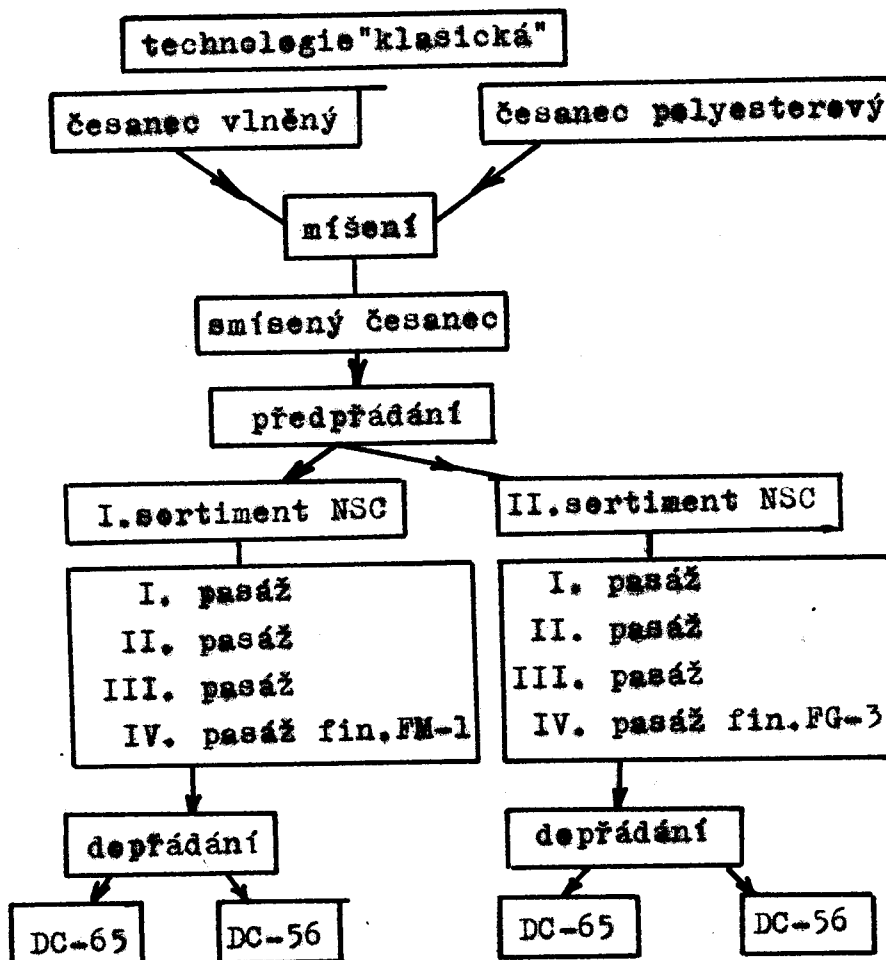
V prostoru mezi elektrodami se po připojení na střídavé napětí vytvoří elektrické pole. Vloží-li se

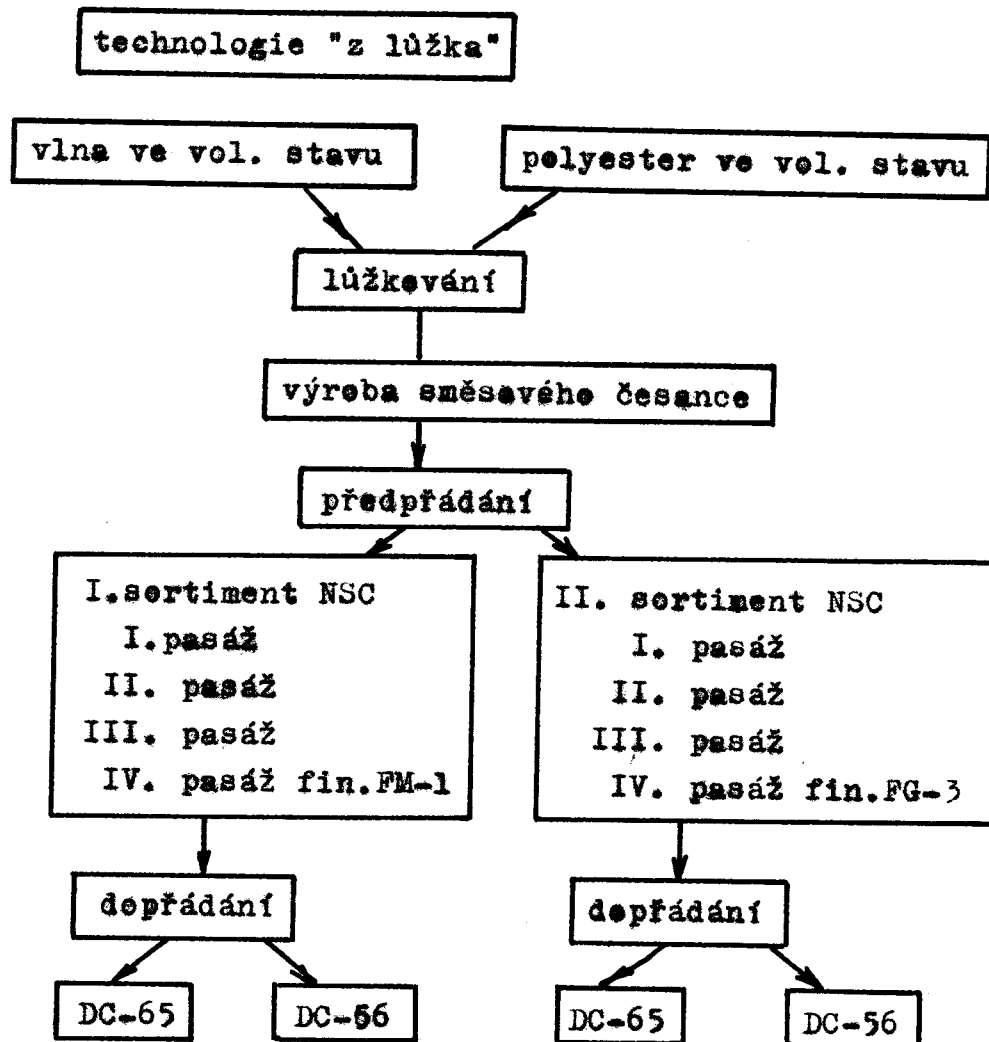
do tohoto pole isolátor, t.zn. špatně vodivé těleso např. textilní materiál, zesílí se pole a v elektrickém proudovém obvodu vzniknou změny proudu.

Změny kapacity měřicího kondensátoru vyvolané vložením zkušebního materiálu mezi elektrody jsou za určitých podmínek přesně úměrné objemu vláken zkoušeného materiálu, a to nezávisle na tom, kde se hmetá vláken v pali kondensátoru nachází.

Způsob odberu vzorků pro provedení zkusek na přístroji "Uster".

Stručný technologický postup:





Při perovnávání obou technologií, jak "klasické", tak i "z lúžka" jsem postupoval následujícím způsobem.

Za prvé jsem si odbral vzorky česanců, které byly spracovávány na I. pasáži obou přípravárenských sortimentů. Te znamená, že jsem obdržel čtyři vzorky. Obdobným způsobem jsem postupoval i u dalších tří pasáží přípravárenského sortimentu. Přásty byly vyhodnocovány přístrojem pro zkoušení nestejnoměrnosti "Uster" o kterém bylo pojednáno v předešlé kapitole.

Statistická jistota získané střední nestejnoměrnosti.

Je třeba si uvědomit, že není možné zkoušet veškerou produkci přádelny. Jsme vždy odkázáni na namátkové zkoušky. Je proto důležité používat pro získané jednotlivé

výsledky měření, zákonu statistiky než vyvodíme příslušné závěry.

Mezní hranice spolehlivosti.

Z celého souboru je provedeno množství namátkových zkoušek. Jaká je souvislost mezi skutečnou střední hodnotou souboru a hodnotou vypočtenou z namátkových zkoušek? Proto byly stanoveny t.zv. mezní hranice spolehlivosti pro naměřenou střední hodnotu. Tyto mezní hranice tvoří počáteční a konečný bod t.zv. rozsahu jistoty. Uvnitř tétoho rozsahu spolehlivosti je "skutečná" střední hodnota souboru, která vzniká při provádění velmi velkého počtu měření. Tuto hodnotu lze očekávat s určitou statistickou jistotou / v našem případě 95%.

Cím více bude namátkových zkoušek tím užší bude mezní hranice a tím přesněji bude určena skutečná střední hodnota. Při výpočtu mezních hranic musíme dbát na to, že přiřazujeme zkoušení nestejnomořnosti Uster, spolu s integrátorem pracuje kontinuálně. Naměřené výsledky tedy vznikají z velkého počtu jednotlivých hodnot / které nesmíme zaměnit s počtem odečtení na integrátoru/.

Výpočet mezních hranic spolehlivosti v rozsahu jedné cívky.

Nejprve musíme odhadnout, jak velký bude počet jednotlivých hodnot měření:

$$n = \frac{L}{\bar{l}}$$

n - počet měřených hodnot

L - celková měřená délka

\bar{l} - střední délka stuplu měřeného materiálu

Rozsah spolehlivosti mezi hranicemi spolehlivosti je nyní:
 $U \pm \Delta U$

Uvažujeme-li Gaussovo normální rozložení bude

$$\frac{\Delta U}{U} = \frac{2}{\sqrt{2n}}$$

Pro mezní hranice spolehlivosti se statistickou jistotou 95 % obdržíme následující tabulku mezních hranic spolehlivosti pro statistickou jistotu 95 %.

počet měření n	100	200	400	800	1200
$\pm \frac{\Delta U}{U}$	0,14	0,10	0,07	0,05	0,04

počet měření n	1600	2000	3000	4800
$\pm \frac{\Delta U}{U}$	0,035	0,033	0,025	0,02

tab. IV 3.1

Tabulka naměřených hodnot nestejnoměrnosti česance a přástu získaného z prvních tří pasáží připravárenského sertimentu NSC.

	"klas": způsob		"z lůžka"	
	I.sert.	II.sert.	I.sert.	II.sert.
česavec U %	4,2	4,8	7	4,3
přást U % I. pasáž	2,9	2,6	3,4	2,4
přást U % II. pasáž	2,6	2,7	3,4	2,5
přást U % III. pasáž	3	2,9	3,9	2,8

VŠST
LIBEREC

Přádelna česané příze

DP
5. LISTOPADU 1966
29

Hednoty byly odečteny na přístroji Uster, posuv materiálu 8m/min, doba měření 5min.

teplota v laboratoři 24 °C

relativní vlhkost 65 %

Mezní hranice spolehlivosti pro česacík vyrobený z lúžka jehež vzorek byl vzat před první pasáží I. sort.

$$U = 7 \% \quad n = \frac{L}{1} = \frac{4000}{7} = 571$$

Dle tabulky mezních hranic spolehlivosti pro statickou jistotu 95 % je $\frac{\Delta U}{U}$ = 0,06

Rezah spolehlivosti je tedy určen následujícími mezními hranicemi:

$$U \pm \Delta U = / 7 \pm 7 \cdot 0,06 / = 7 \pm 0,42$$

Mezní hranice jsou tedy:

$$/ 6,6 - 7,4 \% /$$

Stejným způsobem vypočtujiště mezní hranice i pro další hednoty.

I. pasáž, I. sortiment, technologie "z lúžka"

$$U = 3,4 \% \quad U \pm \Delta U = 3,4 \pm 3,4 \cdot 0,06 = 3,4 \pm 0,2$$

Mezní hranice jsou: 3,2 - 3,6 %

II. pasáž, I. sortiment, technologie "z lúžka"

$$U = 3,4 \% \quad U \pm \Delta U = 3,4 \pm 3,4 \cdot 0,06 = 3,4 \pm 0,2$$

III. pasáž, I. sortiment, technologie "z lúžka"

$$U = 3,9 \% \quad U \pm \Delta U = 3,9 \pm 3,9 \cdot 0,06 = 3,9 \pm 0,2$$

Mezní hranice jsou: 3,7 - 4,1 %

VŠST
LIBEREC

Prádelna česací příze

DP
5. LISTOPADU 1966
30

Česací výrobek z lúžka. Vzorek byl odebrán před první pasáží II. sertimentu.

$$U = 4,3 \% \quad U \pm \Delta U = 4,3 \pm 4,3 \cdot 0,06 \approx 4,3 \pm 0,3$$

Mezní hranice jsou: /4 - 4,6/ %

I. pasáž, II. sertiment, technologie "z lúžka"

$$U = 2,4 \% \quad U \pm \Delta U = 2,4 \pm 2,4 \cdot 0,06 \approx 2,4 \pm 0,2$$

Mezní hranice jsou: /2,2 - 2,6/ %

II. pasáž, II. sertiment, technologie "z lúžka"

$$U = 2,5 \% \quad U \pm \Delta U = 2,5 \pm 2,5 \cdot 0,06 \approx 2,5 \pm 0,2$$

Mezní hranice jsou: /2,3 - 2,7/ %

III. pasáž, II. sertiment, technologie "z lúžka"

$$U = 2,8 \% \quad U \pm \Delta U = 2,8 \pm 2,8 \cdot 0,06 \approx 2,8 \pm 0,2$$

Mezní hranice jsou: /2,6 - 3,0/ %

Česací výrobek "klasickým" způsobem. Zkušený materiál byl vzat před první pasáží I. přípravárenského sertimentu.

$$U = 4,2 \% \quad n = \frac{4000}{7} = 571 \quad \pm \frac{\Delta U}{U} = 0,06$$

$$U \pm \Delta U = 4,2 \pm 4,2 \cdot 0,06 = 4,2 \pm 0,3$$

Mezní hranice jsou: /3,9 - 4,5/ %

I. pasáž, I. sertiment, klas. způsob

$$U = 2,9 \% \quad U \pm \Delta U = 2,9 \pm 2,9 \cdot 0,06 \approx 2,9 \pm 0,2$$

Mezní hranice jsou: /2,7 - 3,1/ %

VŠST
LIBEREC

Přádelna česané příze

DP
5. LISTOPADU 1966
31

II. pasáž, I. sortiment, klas. způsob

$$U = 2,6 \% \quad U \pm \Delta U = 2,6 \pm 2,6 \cdot 0,06 \pm 2,6 \pm 0,2$$

Mezní hranice jsou: / 2,4 - 2,8 / %

III. pasáž, I. sortiment, klas. způsob

$$U = 3 \% \quad U \pm \Delta U = 3 \pm 3 \cdot 0,06 \pm 3 \pm 0,4$$

Mezní hranice jsou: / 2,6 - 3,4 / %

Česanec vyrobený klasickým způsobem jehož vzorek byl odebrán před první pasáží II. přípravárenského sortimentu.

$$U = 4,8 \% \quad U \pm \Delta U = 4,8 \pm 4,8 \cdot 0,06 \pm 4,8 \pm 0,3$$

Mezní hranice jsou: / 4,5 - 5,1 / %

I. pasáž, II. sortiment, klas. způsob

$$U = 2,6 \% \quad U \pm \Delta U = 2,6 \pm 2,6 \cdot 0,06 \pm 2,6 \pm 0,2$$

Mezní hranice jsou: / 2,4 - 2,8 / %

II. pasáž, III. sortiment, klas. způsob

$$U = 2,3 \% \quad \text{Mezní hranice jsou: / 2,5 - 2,9 / \%}$$

III. pasáž, II. sortiment, klas. způsob

$$U = 2,9 \% \quad \text{Mezní hranice jsou: / 2,7 - 3,1 / \%}$$

Mezní hranice spolehlivosti pro více cívek nebo konví jednoho sortimentu / malý počet namátkových zkoušek/.

V praxi bude nutné při zkoušení jednoho sortimentu rozšířit měření na více cívek nebo konví, aby byly dosaženy statisticky spolehlivých výsledků pro daný sortiment.

VŠST
LIBEREC

Přádelna česací příse

DP
5. LISTOPADU 1966
32

Abych vypočetli v takovém případě mezní hranice, není již možné brát za základ velký počet n jednotlivých měření. V tomto případě musíme sáhnout k t. zv. T- rozdílení "Student" pro malé počty namátkových skoušek. Kdybych zkoušeli jednu jedinou cívku určitého sortimentu, nebylo by možné z tého vyvodit žádné závěry o nesoustřednosti ostatních cívek daného sortimentu. Kdybychm zkoušeli veškeré cívky téhoto sortimentu, ebrželi bychom veškerou nesoustřednost přesně, avšak teto není přiznáně možné provádět. Je proto třeba se omezit na malý počet namátkových skoušek, např. 4 - 10 cívek. Výpočet se provede následujícím způsobem.

Za čtvrté pásáže přípravárenských sortimentů I. a II. jsem odebral z každého finisérku po šesti cívkách. Celkem bylo zkoušeno 12 cívek z každého sortimentu.

Naměřené hodnoty při technologickém způsobu "z lůžka" na I. přípravárenském sortimentu.

č.	U %	/ U _i - \bar{U} /	/ U _i - \bar{U} / ²
1.	5,2	0,5	0,25
2.	5,1	0,4	0,16
3.	4,9	0,2	0,4
4.	5,3	0,6	0,36
5.	4,8	0,1	0,1
6.	4,6	0,1	0,1
7.	4,2	0,5	0,25
8.	5	0,3	0,9
9.	4,4	0,3	0,9
10.	4,2	0,5	0,25
11.	4,2	0,5	0,25
12.	5,2	0,5	0,25
	57,1		4,17

VŠST
LIBEREC

Přádelna česomé příze

DP
5. LISTOPADU 1966
33

Odpovídající střední hodnota bude:

$$\bar{U} = \frac{U_1 + U_2 + \dots + U_n}{n}$$

Z toho určíme směrodatnou odchylku:

$$s = \sqrt{\frac{\sum_{i=1}^n (U_i - \bar{U})^2}{n-1}}$$

Pro naměřené hodnoty $\bar{U} = 4,7\%$

$$s = \sqrt{\frac{4,17}{11}} = \sqrt{0,38}$$

$$s = \sqrt{0,38}$$

Mezní hranice spolehlivosti jsou:

$$\bar{U} \pm \frac{s \cdot t}{\sqrt{n}}$$

Tabulka funkce t pro statistickou jistotu 95 %

n	2	3	4	5	6	7	8
$N = n-1$	1	2	3	4	5	6	7
t	12,71	4,03	3,182	2,776	2,571	2,447	2,365

n	9	10	11	12	15	20
$N = n-1$	8	9	10	11	14	19
t	2,306	2,262	2,228	2,201	2,145	2,093

$t_{95} \approx 2,3$

Převnání nestejnoměrnosti dvou sertimentů

počet zkouš. cívek	I. sertiment	II. sertiment
n_1	\bar{U}_1	\bar{U}_2
střední hodnota nestej. \bar{U}_1		
směrodatná odchylka nestejnoměrnosti s_1		s_2

Snažíme se zjistit, zda jsou rozdíly mezi \bar{U}_1 a \bar{U}_2 zajištěny. K zadovězení této otázky byly sestaveny následující výrazy:

$$s_d^2 = \frac{s_1^2 / n_1 - 1 + s_2^2 / n_2 - 1}{n_1 + n_2 - 2}$$

$$t = \frac{\sqrt{\bar{U}_1 - \bar{U}_2} / \sqrt{\frac{n_1 \cdot n_2}{n_1 + n_2}}}{s_d}$$

$$N = \text{stupen} \text{ } \text{velnosti} = n_1 + n_2 - 2$$

Pedle tabulky č. 31 stanovíme, zda pro teto N padne hodnota t do rozmezí:

- 1/ $p < 95\%$
- 2/ $95\% < p < 99\%$
- 3/ $p > 99\%$

příčemž p představuje statistickou jistotu.

Pro $p < 95\%$ rozdíl mezi \bar{U}_1 a \bar{U}_2 není zajištěn. Je třeba jej posuzovat jako čistě nahodilý.

Pro $p > 99\%$ je rozdíl mezi \bar{U}_1 a \bar{U}_2 zajištěn.

Pro $95\% < p < 99\%$ můžeme předpokládat, že odchylka již není nahodilá, avšak tento předpoklad musí být dalšími namátkovými zkouškami dodatečně vyskešen.

Tabulka hodnot t pro statistickou jistotu $p = 95\%$
a $p = 99\%$.

n	p = 95 %	p = 99 %	n	p = 95 %	p = 99 %
1	12,71	63,66	7	2,37	3,50
2	4,30	9,92	8	2,31	3,36
3	3,18	5,84	9	2,26	3,25
4	2,78	4,60	10	2,23	3,17
5	2,57	4,3	11	2,20	3,11
6	2,45	3,71	12	2,18	3,06

n	$p = 95\%$	$p = 99\%$	n	$p = 95\%$	$p = 99\%$
13	2,16	3,01	24	2,064	2,797
14	2,15	2,98	25	2,06	2,79
15	2,13	2,95	26	2,056	2,779
16	2,12	2,92	27	2,052	2,771
17	2,11	2,90	28	2,048	2,763
18	2,10	2,88	29	2,045	2,756
19	2,09	2,86	30	2,042	2,775
20	2,09	2,85	35	2,030	2,724
21	2,08	2,831	40	2,021	2,704
22	2,074	2,819	45	2,014	2,689
23	2,069	2,807	50	2,008	2,678

tab IV.3.3

Pro případ, kdy $n_1 = n_2$, vztahy pro s a t se zjednoduší:

$$s_d^2 = \frac{s_1^2 + s_2^2}{2} \quad t = \frac{|\bar{U}_1 - \bar{U}_2|}{s_d} \sqrt{\frac{n_1}{2}}$$

Naměřené hodnoty při technologickém postupu "z lůžka" na druhém přípravárenském sertimentu.

č.	U %	$/U_i - \bar{U}/$	$(U_i - \bar{U})^2$
1.	5,1	0,3	0,9
2.	4,8	0	0
3.	4,8	0	0
4.	5,0	0,2	0,4
5.	4,6	0,2	0,4
6.	4,8	0	0
7.	4,8	0	0
8.	4,6	0,2	0,4

pekráč.

č.	U %	$/ U_i - \bar{U} /$	$(U_i - \bar{U})^2$
9.	4,8	0	0
10.	4,4	0,4	0,16
11.	5	0,2	0,4
12.	4,8	0	0
Σ	57,5		2,66

$$\bar{U} = 4,6\% \quad s_1 = \sqrt{\frac{2,66}{11}} = \sqrt{0,24}$$

$$s_1 = \sqrt{0,24}$$

Porovnání neostejnoměrnosti obojí finisérů.

$$s_d^2 = \frac{s_1^2 + s_2^2}{2} = \frac{0,38 + 0,24}{2} = 0,31$$

$$t = \frac{| \bar{U}_1 - \bar{U}_2 |}{s_d} \sqrt{\frac{2}{2}} = \frac{4,7 - 4,8}{0,556} \sqrt{6} = 0,44$$

Po dle tabulky č. 33p $t < 95\%$. Rozdíl mezi \bar{U}_1 a \bar{U}_2 není zajištěn je čistě nahodilý.

Porovnání přástů vyráběných klasickým způsobem.
Ke zkušebním účelům bylo vzato po 12 cívkách z každého sortimentu, po 6 z obou finisérů.

Naměřené hodnoty I. sortimentu.

č.	U %	$/ U_i - \bar{U} /$	$(U_i - \bar{U})^2$
1.	4	0,3	0,9
2.	4,1	0,2	0,4
3.	4,1	0,2	0,4
4.	4,4	0,1	0,1

VŠST
LIBEREC

Přádelna česané příze

DP
5. LISTOPADU 1966
37

pekráč.

č.	U %	/U _i - \bar{U} /	/ U _i - \bar{U} / ²
5.	4,0	0,3	0,9
6.	4,2	0,1	0,1
7.	4,2	0,1	0,1
8.	5,0	0,7	0,49
9.	4,6	0,3	0,9
10.	4,8	0,5	0,25
11.	4,2	0,1	0,1
12.	3,8	0,5	0,25
Σ	51,4		4,89

$$\bar{U} = 4,3\% \quad s_1 = \sqrt{\frac{4,89}{11}} = \sqrt{0,444}$$

Naměřené hodnoty, II. sortiment, IV. pasáž, klas. způs.

č.	U %	/U _i - \bar{U} /	/ U _i - \bar{U} / ²
1.	4,0	0,1	0,1
2.	4,4	0,3	0,9
3.	4,1	0	0
4.	4,4	0,3	0,9
5.	4,0	0,1	0,1
6.	4,0	0,1	0,1
7.	4,2	0,1	0,1
8.	4,0	0,1	0,1
9.	4,3	0,2	0,4
10.	4,2	0,1	0,1
11.	4,2	0,2	0,2

pokrač.

č.	U %	/U _a - U/	/U _a - U/ ²
12.	4,0	0,1	0,1
Σ	49,8		3,0

$$\bar{U} = 4,1 \% \quad s_a = \sqrt{\frac{3}{11}} = \sqrt{0,27}$$

Porevnání obou finisérů: I. sortiment je zakončen finisérem FM-1 a druhý sortiment je zakončen finisérem PG-3.

$$s_d = \frac{s_1^2 + s_2^2}{2} = \frac{0,37 + 0,27}{2} = 0,32$$

$$t = \frac{|\bar{U}_1 - \bar{U}_2|}{s_d} \sqrt{\frac{N}{2}} = \frac{4,3 - 4,1}{0,365} \sqrt{6} = 0,865$$

Dle tabulky č. K33p $t < 95\%$, rozdíl mezi \bar{U}_1 a \bar{U}_2 je zcela nahodilý.

Mezní hranice spolehlivosti pro více cívek jednoho sortimentu.

Mezní hranice pro I. sortiment. Přást byl vyroben technologií "z lůžka"

$$\bar{U} = 4,7 \% \quad S_d = \sqrt{0,38} = 0,61$$

Pro rezah spolehlivosti dostaneme $\bar{U} \pm \frac{t \cdot s}{\sqrt{n}}$

Pro n = 12 bude z tabulky č. K3.2t = 2,201

$$4,7 \pm \frac{2,201 \cdot 0,61}{12} \approx 4,7 \pm 0,4$$

VŠST
LIBEREC

Předelna česacé příze

DP
5. LISTOPADU 1966
39

Celková nestejnoměrnost I. sertimentu s pravděpodobností 95 % leží v rozsahu

$$4,3 \% - 5,1 \%$$

Mezní hranice pro druhý sertiment. Přást byl vyroben technologií "z lůžka".

$$\bar{U} = 4,8 \% \quad s = \sqrt{0,24} = 0,49$$

Pro rozsah spolehlivosti dostaneme:

$$4,8 \pm \frac{2,201 \cdot 0,49}{3,46} \approx 4,8 \pm 0,3$$

Celková nestejnoměrnost II. sertimentu s pravděpodobností 95 % leží v rozsahu

$$4,5 \% - 5,1 \%$$

Mezní hranice I. sertimentu. Přást byl vyroben technologií "klasickou"

$$\bar{U} = 4,3 \% \quad s = \sqrt{0,444} = 0,665$$

Pro rozsah spolehlivosti dostaneme:

$$4,3 \pm \frac{2,201 \cdot 0,665}{3,46} \approx 4,3 \pm 0,4$$

Celková nestejnoměrnost I. sertimentu s pravděpodobností 95 % leží v rozsahu

$$3,9 \% - 4,7 \%$$

Mezní hranice spolehlivosti III. sertimentu. Přást byl vyroben technologií "klasickou".

$$\bar{U} = 4,1 \% \quad s = \sqrt{0,27} = 0,52$$

VŠST
LIBEREC

Přádelna česané příze

DP
5. LISTOPADU 1966
40

Pro rozsah spolehlivosti dostaneme:

$$4,1 \pm \frac{2,201 \cdot 0,52}{3,46} = 4,1 \pm 0,3$$

Celková nestejnomořnost II. sertimentu s pravděpodobností 95 % leží v rozsahu

$$3,8 \% - 4,4 \%$$

Srovnání nestejnomořnosti přástů vyrobených "klasickým" způsobem a technologie "z lúžka na prvních sertimentech, jejichž IV. pasáž je u finiséry FM-1. K povernáni použijeme T-testu.

	klas. způsob	z lúžka
Počet zkoušek	12	12
Střední hodnota nestejnomořnosti	$\bar{U}_1 = 4,3\%$	$\bar{U}_2 = 4,7\%$
Sněrodatná odchylka nestejnomořnosti	$s_1 = 0,665$	$s_2 = 0,615$

$$s_d' = \frac{s_1 + s_2}{2} = \frac{0,665 + 0,615}{2} = 0,640$$

$$s_d = 0,649 \quad t = \frac{4,7 - 4,3}{0,649} \sqrt{6} = 1,501$$

Dle tabulky $t_{12,3} > 1,501$, rozdíl mezi \bar{U}_1 a \bar{U}_2 je současně nahodilý.

Srovnání nestejnomořnosti přástů vyrobených II. sertimentem, jak způsobem technologie z lúžka, tak způsobem klasickým.

	klas. způsob	z lúžka
Počet zkoušených cívek	12	12
střední hodnota nestejnomořnosti	$\bar{U}_1 = 4,1\%$	$\bar{U}_2 = 4,8\%$

směrodatná odchylka nestejnomořnosti	$s_1 = 0,27$	$s_2 = 0,24$
---	--------------	--------------

$$s_d^2 = \frac{s_1^2 + s_2^2}{2} = \frac{0,27^2 + 0,24^2}{2} = 0,255$$

$$s_d = 0,505 \quad t = \frac{4,8 - 4,1}{0,505} \sqrt{6} = 3,38$$

Dle tabulky $\bar{t}_{13,3}$ > 99 %, rozdíl mezi \bar{U}_1 a \bar{U}_2 je zajištěn.

Z naměřených a vyhodnocených číselních výsledků nestejnomořnosti bych chtěl udělat tyto presedimní závěry. Přehledná tabulka č. IV. 3.4 nám ukazuje, že přásty vyráběné klasickým způsobem, a to ne obou finisérech, mají značně nižší průměrnou hodnotu nestejnomořnosti, než přásty vyráběné technologickým postupem z lúžka.

Z každého sortimentu jsem odsekal 12 cívek, a teď se podívám, zda již dají dělat určité statistické závěry. V případě srovnání hodnot nestejnomořnosti přástu vyráběného na druhém sortimentu jak způsobem klasickým, tak technologií z lúžka, pouze T-testu je dokázáno, že rozdíl mezi hodnotami \bar{U}_1 a \bar{U}_2 je zajištěn, a tedy vyplývá, že je výhodnější k výrobě směsového přástu 45/55 vl/Po použít technologii klasické.

Tyto závěry se nedají učinit pro první sortiment, kde rozdíl mezi \bar{U}_1 a \bar{U}_2 zajištěn není.

Při porovnávání číselné hodnoty nestejnomořnosti obou finisérek, jak FM-1, tak FG-3 pro oba dva technologické postupy nelze ze statistického T-testu pro 12 odměřených cívek učiniti závěry, zda je výhodnější použít pro zpracování směsi 45/55 vl/Po jako IV. připravárenské posáže finiséru FM-1 a FG-3.

Z vyplácených mezních hodnot nestejnomořnosti pro jednotlivé finiséry se dá usuzovat pouze te, že finiséry FG-3 v obou případech, ať jak pro technologii zpracování přástu klasickým způsobem, tak i pro technologii z lúžka, vyhrazují užší hranice nestejnomořnosti,

že zaznamená, že finisery PG-3 by měly vyrábět přást, jehož hodnota nestejnoměrnosti by nevyhovovala příliš veliké kolísání, až se dá urovnat i ze směredatných odchylek vypočítaných pro hodnoty nestejnoměrnosti jak prvního tak i druhého sortimentu a obě technologie. Hodnoty a jsou v abso technologických spůsobech větší pro první sortiment, to snížení pro finisér FM-1.

Vedle číselné hodnoty nestejnoměrnosti předeného výrobku je také důležité znát charakter této nestejnoměrnosti. Hodnota U udává číselně tak, říkajíc římkou diagramu, anž nám náleží římká o druhu výkyvu. Druh výkyvu může být určen pouze rozberem po délce diagramu.

Rozložení nestejnoměrnosti na její složky.

Nestejnoměrnosti se sčítají podle zákona $C = \sqrt{A^2 + B^2}$. Použitím téhoto zákona je tedy možno vypočítat dodatečnou nestejnoměrnost B vytvořenou určitým strojem, známe-li nestejnoměrnost A vstupujícího a nestejnoměrnost C vycházejícího materiálu.

$$B = \sqrt{C^2 - A^2}$$

Přímen B představuje celkovou dodatečnou nestejnoměrnost vytvořenou ve stroji. Tato se skládá z podílu náhodně podmíněné, nevyhnutecké nestejnoměrnosti v důsledku změny vlastností předeného výrobku a z podílu B , který je podmíněn strojem

Podle téhoto můžeme psát následující rovnice:

$$A_{tot} = \sqrt{A_{in}^2 + A_{det}^2} \quad * \quad A_{det} = \sqrt{A^2 - A_{in}^2}$$

A_{in} = menší nestejnoměrnost vstupujícího předeného výrobku

A_{det} = dodatečná, ve vstupujícím předeném výrobku obecnější nestejnoměrnost

mezní nestejnoměrnost A_{lim} nám říká, že i v ideálním případě při ryze nahodilém rozdělení vláken, je třeba počítat ještě s určitou minimální nestejnoměrností.

$$A_{lim} = \frac{80}{\pi} \sqrt{1 + 0,0004 v_d^2}$$

n = Střední počet vláken v příčném průseku

v_d = variacioní koeficient průměru vláken

Obdobně můžeme psát pro předený výrobek vycházející ze stroje:

$$c = \sqrt{C_{lim}^2 + C_{ded}^2}$$

přičemž:

C_{lim} = mezní nestejnoměrnost vycházejícího předeného výrobcu

C_{ded} = dedatačná, ve vycházejícím předeném výrobcu obecnější nestejnoměrnost

je tedy:

$$C_{ded} = \sqrt{A_{ded}^2 + B_{ded}^2}$$

Přičemž B_{ded} je pouze strojem podmíněná nestejnoměrnost.

tedy $C_{ded} = \sqrt{A^2 - A_{lim}^2 + B_{ded}^2}$

$$C = \sqrt{C_{lim}^2 + A^2 - A_{lim}^2 + B_{ded}^2}$$

$$B_{ded} = \sqrt{C^2 - C_{lim}^2 - A^2 + A_{lim}^2}$$

Převážné dedatačné nestejnoměrnosti způsobené finiséry FM-1 a FG-3 pro klas. způsob výroby přástu.

Jemnost vláken

20,18 μ - Čm 2280

Přividlný přást k FM-1 - bez druz.

Čm 0,152

Nestejnoměrnost přivád. materiálu

A = 3 %

Mezní nestejnomořnost přiváděného materiálu $A_{lim} = 0,7\%$

Vyroběný pramen $\bar{C}_m = 1,5$

Nestejnomořnost vyroběného pramene $C = 4,3\%$

Mezní nestejnomořnost vyroběného pramene $C_{lim} = 2,2\%$

$$B_{dod} = \sqrt{4,3^2 - 2,2^2 - 3^2 + 0,7^2}$$

$$B_{dod} = \sqrt{18,59 - 4,85 - 9 + 0,49}$$

$$B_{dod} = 2,28\%$$

Dodatečná nestejnomořnost způsobená pouze strojem PM-1 je 2,28%.

Dodatečná nestejnomořnost způsobená finisérem FG-13.

Jemnost vlnkovitého materiálu $20,18\mu$

Přiváděný pramen-dvojnásob. druhého $\bar{C}_m = 0,4$

Nestejnomořnost jednotlivého přívad. pramene $2,9$

Pesukovacímu stroji jeho však přivedeny dva prameny. Pro toto použení musíme uvažovat, že přiváděný materiál je tento dvojnásobný pramen.

Tedy: přiváděný materiál : $\bar{C}_m = \frac{0,4}{2} = 0,2$

Nestejnomořnost přiváděného materiálu $A = \frac{2,9}{2} = 2,03\%$

Mezní nestejnomořnost přiváděného materiálu $A_{lim} = 0,78\%$

Vyroběný pramen $\bar{C}_m = 1,5$

Nestejnomořnost vyroběného pramene $C = 4,1\%$

Mezní nestejnomořnost vyroběného pramene $C_{lim} = 2,2\%$

$$B_{dod} = \sqrt{4,1^2 - 2,2^2 - 2,032^2 + 0,78^2}$$

$$B_{dod} = \sqrt{16,81 - 4,86 - 4,14 + 0,61}$$

$$B_{dod} = 2,9\%$$

Dodatečná nestejnomořnost stroje PG-3 je 2,9 %.

Definice indexu nestejnomořnosti přádelnického stroje I .

$$I_m = \sqrt{\frac{C_{km}^2 + B_{dod}^2}{C_{km}}} \text{ z čehož vyplyná}$$

$$I_m = \sqrt{\frac{C^2 - A^2 - A_{km}^2}{C_{km}}}$$

Při malých průměrech a velké nestejnomořnosti předkládaného materiálu bude rozdíl mezi I a I_m tak značný, že je nutné pracovat s hodnotou I_m .

Index nestejnomořnosti pro FM-1

$$I_m = \sqrt{\frac{4,3^2 - 3^2 - 0,7^2}{2,2}} = 1,38$$

Index nestejnomořnosti pro PG-3

$$I_m = \sqrt{\frac{4,1^2 - 2,03^2 - 0,78^2}{2,4}} = 1,43$$

K těmto výsledkům dosaženým výpočtem, jak vypočítané dodatečné nestejnomořnosti způsobené strojem, tak i indexu nestejnomořnosti I je nutno podekládat, že byly zrovnaženy různé technologické postupy. Tedyže vychází nižší dodatečná nestejnomořnost přádelnického stroje i nižší index nestejnomořnosti na stroji FM-1 je způsobeno tím, že na stroji PG-3 bylo použito dvojnádobného druhání, zatím co stroj FM-1 pracoval bez druhání, pouze dodávaný přást protahoval. Tento rozdílný technolo-

gický postup vychází z praktických zkušeností zpracování směsového přástu 45/55 vl/Fc pomocí finisérů FM-1. Při dvojnásobném či trojnásobném držení pro Čm výsledného přástu 1,5 nám vznikají neprávně nastavená místa v přástu, t.zv. plamence. Prete nejdří u finisérů FM-1 pro tento technologický postup použití držení.

Rezber podél diagramu.

K rezberu nestejnomořnosti předeného výrobku náleží také rezber diagramu v podélném směru, t.zn. zkoumání tvaru a druhu výkyvu příčného průřezu. V dobré přízi se vyskytuje čistě nahodilé výkyvy. Z toho vyplývá, že vzdálenost dvou po sobě následujících silných a slabých míst a zároveň i příslušné velikosti edekylek se stále mění pouze podle zákona nahodilesti. Často se stává, že kromě těchto nahodilých výkyvů se vyskytuje ještě výkyvy povahy systematické. Máme-li např. ve stejných vzdálenostech slabé nebo silné místo, mluvíme o periodickém výkyvu. Vlnová délka téhoto periodického výkyvu se rovná vzdálenosti dvou po sobě následujících silných nebo slabých míst.

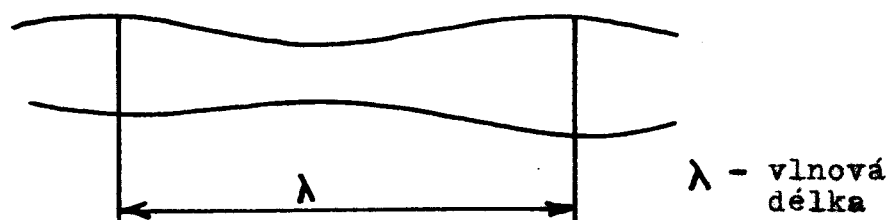
Podélný rezber takového diagramu vyžaduje velkou zkušenosť, mni vždy lehký. Pomocí spekrografen je podélný rezber snadno vyjednoušen.

4/ Spekrografické vyhodnocení příze.

1. Účel použití.

Spektrograf Uster slouží k rychlému a přesnému určení relativní velikosti periodických výkyvů v závislosti na vlnové délce. Toto určení probíhá zcela automaticky a výsledek je nakreslen ve formě t.zv. spektra vlnové délky. Při zapisování vlnového spektra se mazáší velikost periodických výkyvů vertikálně-lineárně a délka vlny je udána vodorovně v logaritmickém

mické stupnici. Graficky je možno nakreslit průběh průřezu přírody, přástů a pramenů. Na základě charakteristických zjevů v diagramu se dá rozpoznat nesprávné seřízení střejů, vady střejů atd. Při tom jsou periodické výkyvy zvláště směredatné. Periodický výkyv známá stálé opakování silných a slabých míst ve stejných vzdálenostech, při čemž vzdálenost mezi vlnovými výškami nebo vlnovými hlebekami se označuje jako vlnová délka.



Definice / jednotka / údajů /.

Vodoprovodní esy.

Délka vlny je logaritmicky nanášena v rozsahu od 1 cm až do 10 m.

Svislá esa.

Výchylka periodického výkyvu zprostředkovovaná během celkového vyhodnocovacího času, v lineárním měřítku.

Vyhodnocení spekrogramů.

Průběh ideálního spektra.

V důsledku nahodilého rozdělení váken se nedá u všech především jít pod určitou limitní nestojanoměrnost. Sestavení této limitní nerevnomořnosti může být představováno spektrem vlnové délky, která je označována jako ideální spektrum. Toto spektrum ukazuje minimální velikost periodických výkyvů, které se i při ideálních procesech stále ještě vyskytují.

Limitní nerevnomořnost se dá vypočítat podle Martindaleova vzorce.

$$CV_{lim} \% = \frac{100}{\sqrt{n}} \sqrt{1 + 0,0004 v_b^2}$$

CV_{lim} = limitní nerevnomořnost

n = průměrný počet vláken v průřezu

v_b = variační koeficient průměru vláken

Ideální spektra jsou standardizována, aby zmínila závislost na středním počtu vláken, respektive na čísle příze.

Průběh spektrogramu prakticky bezvadných pramenů, přástů a přízí / normální spektrum /.

a/ Příze

Prakticky bezvadné příze vykazují index, který je jen o málo větší než jedna. Počle této také rozdíl mezi ideálním spektrem a spektrogramem bezvadných přízí / normální spektrum / je jen malý. Normální spektrum se od ideálního liší v početnosti výšek. V přiblížení může být index I dosazen jako poměr mezi výškou spektra normálního a ideálního.

b / Přásty a prameny.

Prakticky bezvadné přásty a prameny vykazují vyšší index I než prakticky bezvadné příze. Poměr výšky normálního spektra k výšce spektra ideálního je proto rovněž větší. Nejvyšší místo nyní již neleží u 2,5-3 násobné průměrné stáplevé délky obvyklé u normálních spekter přízí nýbrž u 3 - 5 násobné průměrné stáplevé délky. Příčina tkví v tom, že masa vláken není ještě úplně rozvedena v jednotlivá vlákna, nýbrž stále ještě je sestavena ze skupin vláken jejichž celková délka je o něco větší než délka jednotlivých vláken.

Spektrogram vadných pramenů přástů a přízí.

Když je průběh spektrogramu prakticky bezvadných přízí, přástů a pramenů znám, měle by být též snadné v každém praktickém spektrogramu rozpoznat eventuální periodickou vadu zkoušeného materiálu, protože každá odchylka od normálního průběhu teoreticky ukazuje vadu. Je třeba rozhodnout, jestli velikost vady závažná či nikoli. Při tom je třeba brát zřetel na to, že vady vykazují vždy větší amplitudy, než ideální spektrogram, respektive než spektrogram normální.

Dále je třeba brát zřetel na to, že v důsledku standardizace spektrogramu podle průměrné nerevnomořnosti zůstává průměrná výška spektrogramu stále přibližně stejná, zatímco normální ideální spektrum se u horších přízí, přástů a pramenů jeví přiměřeně nižší.

Spektrogramy oproti precentům nestejnoměrnosti nemají znázornit číselnou míru jakosti, nýbrž slouží jako pomocné zdrojů závad. Závady předlákých strojů, pokud se vztahují na nepřavidelnost, lze rozdělit na dvě skupiny.

1 / Čistě mechanické závady, způsobené např. pekřiveným nábojem, poškozenými ozubenými kely, excentrickými válci atd.

2 / Závady následkem nedostatečné kontroly poměru v průtaheovém poli / ploveucí vláknem /. Tak vznikají průtahevé vlny.

Je důležité shora uvedené dvě skupiny od sebe rozlišovat. Pomocí spektrogramu je to umožněno, a to timto způsobem:

Spektrogram mechanických poruch.

Mechanické poruchy střeje jsou obyčejně příčinou kolísání průřezu, u kterých zůstává vzdálenost mezi zesílenými místy přesně konstantní. Podle toho vykazují

VŠST
LIBEREC

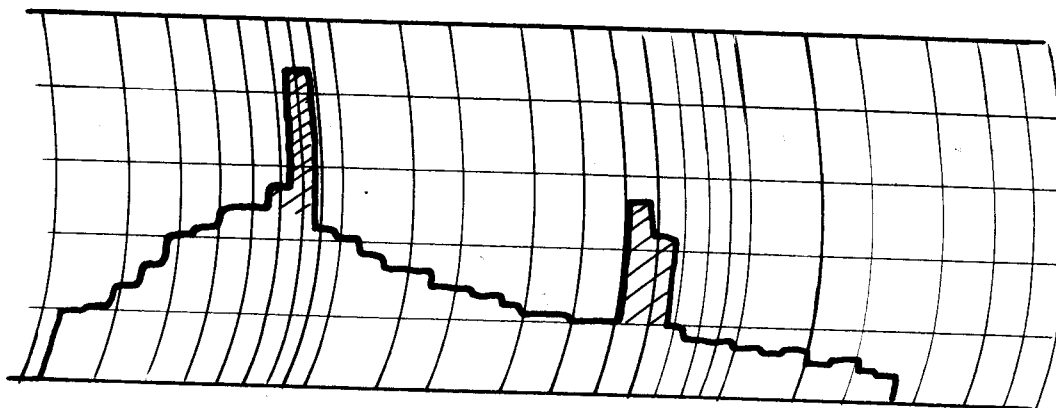
Přádelna česací ptice

DP

5. LISTOPADU 1966

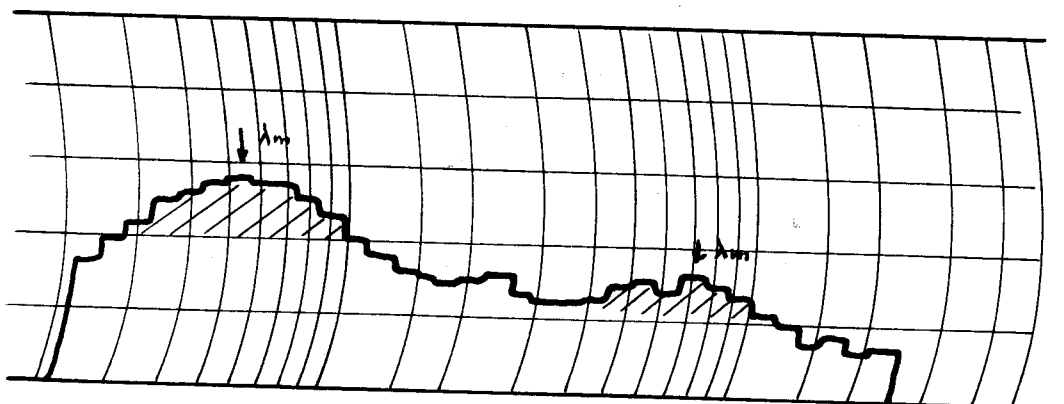
50

ve spektrogramu pouze jeden, nejvýše dva kanály, značné zvýšení.



b / Spektrogram průtahových vln.

Průtahové vlny jsou výkyvy zvláštního druhu. Povšimneme-li si důkladně diagramu průběhu průtezu některého vzorku zjistíme, že např. určité místy vykazuje výkyv 9 cm v délce vlny. Avšak následující kmit ukazuje 12 cm délku vlny, další pauze 8 cm, nejdříve se tu tedy již • "čistě periodické" výkyvy, nýbrž • výkyvy s délkami vlny v určitém smyslu variabilními. Podle toho obdržíme ve spektrogramu výkyvy normálního průběhu v tom smyslu, že je tam obsažen značně velký rozsah vln / t.zv. spejité spektrum / s vlnou která nejvíce vyniká.

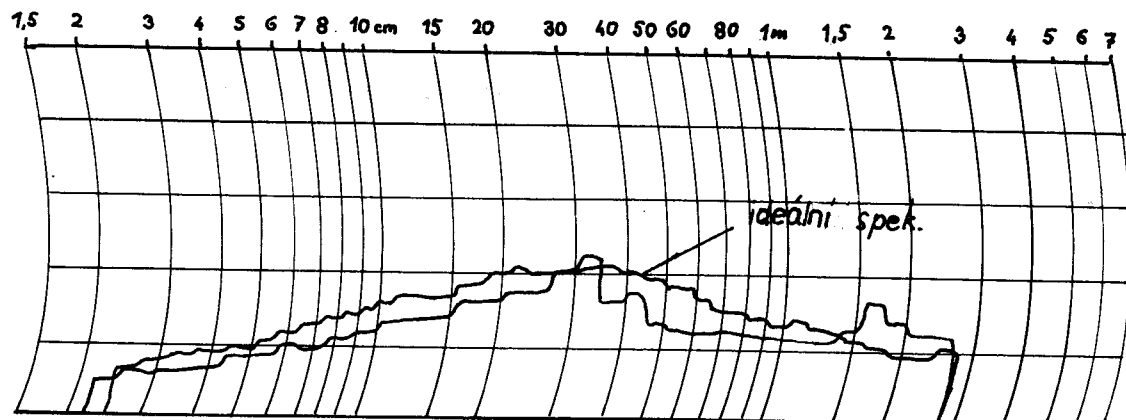


Informace spektra tedy smětuje nejprve k naznačení druhu závady. Jde tedy o zpracování informace v tom smyslu. Nyní je třeba dálšího postupu k lokalizaci příčiny závady.

Vyhodnocení címků přástu po stránce stejnomořnosti a zjištění periodických vad pomocí spektrografo Uster.

Výsledky: finisér FM-1:

Výsledná nestejnoměrnost zaznamenaná přístrojem Uster U = 4,8 %. Na následujícím obrázku je vyznačen spektrogram, jenž vyznačuje proti prakticky ideálnímu přástu nižší úroveň, což ověděl o vyšším indexu nestejnoměrnosti. V diagramu se nevyskytuje v rozmezí 2,2 cm - 2,5 m žádné závažné periodické vady.



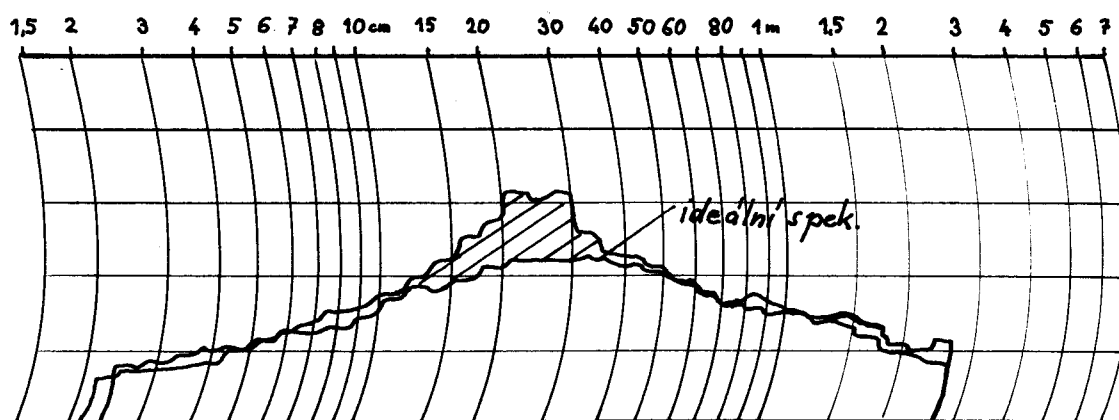
Pokud se jedná o vyhodnocení grafu pro zjištění nestejnoměrnosti, který je naznačen na dalším obrázku, lze sledovat periodický výkyv po 6 m, kdy se vyskytuje silnější místo. To ovšem není závada finiséra, ale stroje, resp. strojů před ním.

finisér FG-3: výsledná nestejnomořnost naměřená přístrojem Uster U = 4,3 %. Na následujícím obrázku je vyznačen spekrogram, jenž vykazuje v porovnání s křivkou praktického ideálního přástu téměř shodu, až na průtahovou vlnu, jejíž střední délka je 25 cm. Jde o charakteristikou vadu t.zv. průtahovou vlnu, která byla zapříčiněna na finiséru a mohla být zaviněna pouze průtahovým ústrejím a nemusí se vztahovat na celý stroj.

Příčiny vzniku vady mohou být:

- příliš malé zatížení válců
- příliš velký předprůtah
- nevhodný zhuštěvač v pali předprůtahu nebo bezprůtahu
- nedostatečná kontrola vláken v průtahovém poli.

Některá z těchto příčin pravděpodobně měla vliv na vytvoření závady. Podle závažnosti se jedná o lehkou závadu.



V porovnání diagramů pro zjištění stejnomořnosti můžeme zajistit lepší stejnomořnost přástu z finiséru FG-3, což též potvrzuje i čiselné vyjádření.

U grafu pro zjištění nestejnomořnosti bylo použito citlivosti 25 %, posuv papíru 25 cm/min a posuv zkoušeného materiálu byl veLEN 25 m/min. Tedy 1 cm na grafu představuje 1 m materiálu ve skutečnosti.

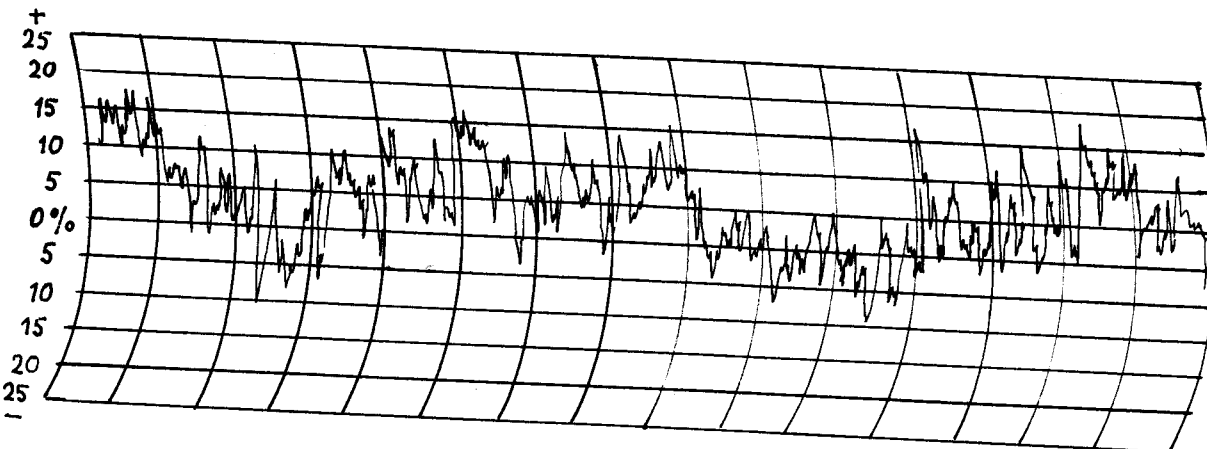
VŠST
LIBEREC

Přádelna řetězové příze

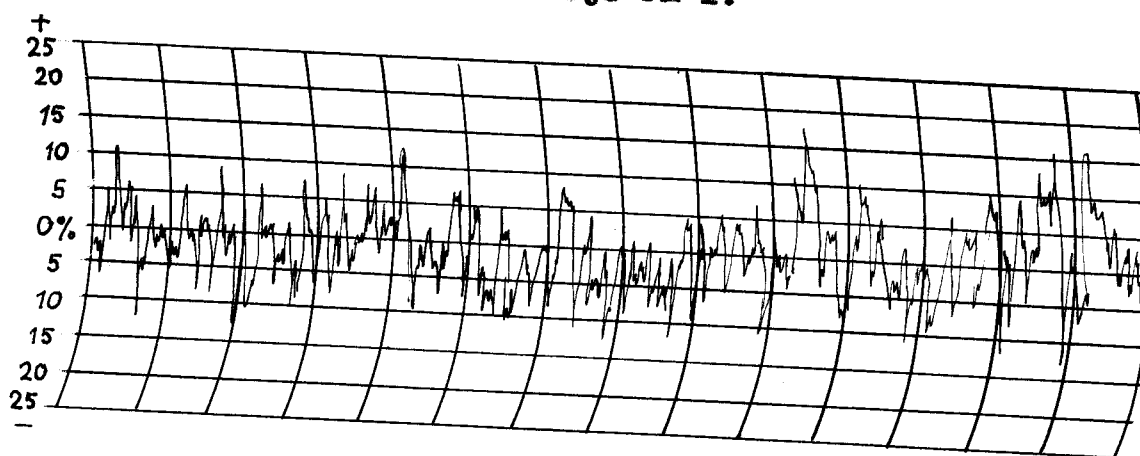
DP

5. LISTOPADU 1966

53



Grafické zjištění nestejnoměrnosti přástu vyrobeném na stroji FM-1.



Graf nestejnoměrnosti přástu vyrobeného na stroji FG-3.

Vyhodnocení nestejnoměrnosti příze pomocí přístroje Uster.

Přást vyrobený pomocí I. a II. sortimentu byl rozdělen na dopřádací stroje DC- 65 a DC- 56. Z každého dopřádacího stroje bylo odebráno 8 petáčů a tyto petáče byly vyhodnoceny na přístroji Uster. Každá zkouška petáče trvala 5 minut při rychlosti odvádění příze 50 m/min., t.zn., že bylo edskoušeno 250m příze z každého petáče.

Naměřené hodnoty příze vyrobené na DC-56. Přást byl vyroben na druhém sortimentu, "klasickým" způsobem

i.	U %	čísločka n.	síla v N	počty	$ U_i - \bar{U} $	$(U_i - \bar{U})^2$
1.	15,2	78	30	1	0,3	0,9
2.	15	63	19	-	0,5	0,25
3.	15,8	108	41	1	0,3	0,9
4.	16,8	131	82	1	1,3	1,7
5.	15,5	84	42	-	0	0
6.	15,5	71	44	1	0	0
7.	14,8	71	40	3	0,7	0,49
8.	16	153	84	3	0,5	0,25
Σ	124,4	759	382	10		4,49

$$\bar{U} = \frac{124,4}{8} = 15,5 \% \quad s = \sqrt{\frac{4,49}{7}} = 0,8$$

t podle tabulky dIV.3.2 je 2,365

$$\text{Mezní hranice: } \bar{U} \pm \frac{t \cdot s}{n} = 15,5 \pm \frac{2,365 \cdot 0,8}{8} = \\ = 15,5 \pm 0,7$$

Celková nestejnomořnost příze, jejíž přást byl vyroben na druhém sortimentu je v rozsahu 14,8 - 16,2 %. Příze byla dopředena na DC-56. Pravděpodobnost, že nám hodnoty nestejnoměrnosti padnou do téhoto rozsahu je 95 %.

Naměřené hodnoty nestejnomořnosti příze vyrobené na DC-65, přást byl vyroben na druhém sertimentu, "klas." způsobem.

i.	U %	slabá m.	silná m.	nepký	$ U_i - \bar{U} $	$(U_i - \bar{U})^2$
1.	15,4	61	28	1	0,2	0,4
2.	14,8	64	24	3	0,4	0,16
3.	15	90	20	3	0,2	0,4
4.	14,5	70	37	-	0,7	0,49
5.	14,8	53	29	-	0,4	0,16
6.	15	48	43	-	0,2	0,4
7.	15,8	98	59	-	0,6	0,36
8.	15,8	115	65	-	0,6	0,36
Σ	121,1	599	305	7		2,73

$$\bar{U} = \frac{121,1}{8} = 15,2 \% \quad s = \sqrt{\frac{2,73}{7}} = 0,62$$

$$\text{Mezní hranice: } 15,2 \pm \frac{2,365 \cdot 0,62}{2,82} = \\ = 15,2 \pm 0,5$$

Celková nestejnomořnost příze vyrobené klas. způsobem na druhém sertimentu a pomocí dopřádacího stroje DC-65 s pravděpodobností 95 % leží v rozsahu

$$14,7 - 15,7 \%$$

Naměřené hodnoty nestejnomořnosti příze vyrobené na DC-65, přást byl vyroben na prvním sertimentu, "klas." způsobem.

VŠST
LIBEREC

Přádelna česací příze

DP
5. LISTOPADU 1966
56

i.	U %	slabá m.	silná m.	nepky	$ U_i - \bar{U} $	$(U_i - \bar{U})^2$
1.	15,8	97	93	2	0,9	0,81
2.	14,8	66	25	-	0,1	0,1
3.	15	70	43	-	0,1	0,1
4.	14,2	57	31	1	0,7	0,49
5.	14,6	70	42	-	0,3	0,9
6.	15	54	46	1	0,1	0,1
7.	14,2	37	46	-	0,7	0,49
8.	15,3	115	64	1	0,4	0,16
Σ	118,9	566	340	5		3,15

$$\bar{U} = \frac{118,9}{8} = 14,9 \% \quad \text{---} = \sqrt{\frac{3,15}{7}} = 0,67$$

$$\text{Mezní hranice: } 14,9 \pm \frac{0,67 \cdot 2,365}{8} = \\ = 14,9 \pm 0,6$$

Celková nástejneměrnost příze vyrobené "klas." způsobem pomocí prvního sortimentu a dopřádacího stroje DC-65 s pravděpodobností 95 % leží v rozsahu

$$14,3 - 15,5 \%$$

Raměřené hodnoty nástejneměrnosti příze vyrobené na DC-56, příště byl vyroben na prvním sortimentu, "klas." způsobem.

i.	U %	slabá m.	silná m.	nepky	$ U_i - \bar{U} $	$(U_i - \bar{U})^2$
1.	14,5	65	32	1	1,3	1,7

VŠST
LIBEREC

Prádelna česací příze

DP
5. LISTOPADU 1966
57

zprávka.

1.	U %	slabá m.	silná m.	nopky	$ U_i - \bar{U} $	$(U_i - \bar{U})^2$
2.	15,5	73	45	-	0,3	0,9
3.	16,2	106	49	-	0,4	0,16
4.	16,2	119	44	-	0,4	0,16
5.	15,2	71	37	1	0,6	0,36
6.	15,6	93	50	1	0,3	0,4
7.	16,8	152	79	1	1,0	1,0
8.	16,5	127	60	-	0,7	0,49
Σ	126,5	806	396	4		5,17

$$\bar{U} = \frac{126,5}{8} = 15,8\% \quad s = \sqrt{\frac{5,17}{7}} = 0,86$$

$$\text{Mezní hranice: } 15,8 \pm \frac{2,365 \cdot 0,86}{8} =$$

$$= 15,8 \pm 0,7$$

Celková nestejněměrnost příze vyrobené "klas." způsobem na prvním sertimentu a pomocí dopřádacího stroje DC-56 leží s pravděpodobností 95 % v rozsahu

$$15,1 - 16,5 \%$$

Naměřené hodnoty nestejněměrnosti příze vyrobené na DC-65. Prást byl vyroben na druhém sertimentu, technologie "z lůžka".

1.	U %	slabá m.	silná m.	nopky	$ U_i - \bar{U} $	$(U_i - \bar{U})^2$
1.	16,5	141	168	2	0,9	0,81
2.	17	140	149	3	0,4	0,16

VŠST
LIBEREC

Přídelna česané příze

DP

5. LISTOPADU 1966

58

pokrač.

i.	U %	slabá m.	silná m.	nepky	$ U_i - \bar{U} $	$(U_i - \bar{U})^2$
3.	17,2	182	211	-	0,2	0,4
4.	17,5	191	200	1	0,1	0,1
5.	18,2	235	227	1	0,8	0,64
6.	17,8	243	207	-	0,4	0,16
7.	17,5	180	201	-	0,1	0,1
8.	18	210	216	3	0,6	0,36
Σ	139,7	1522	1579	10		2,83

$$\bar{U} = \frac{139,7}{8} = 17,4 \% \quad s = \sqrt{\frac{2,83}{7}} = 0,64$$

$$\text{Mezní hranice: } 17,4 \pm \frac{0,64 \cdot 2,365}{2,82} = \\ = 17,4 \pm 0,5$$

Celková nestajnoměrnost příze vyráběná technologií z lůžka na druhém sortimentu pomocí depřádacího stroje DC-65 s pravděpodobností 95 % leží v rozsahu

$$16,9 - 17,9 \%$$

Naměřené hodnoty nestajnoměrnosti příze vyráběné na DC-56. Přást byl vyraben na druhém sortimentu, technologií "z lůžka".

i.	U %	slabá m.	silná m.	nepky	$ U_i - \bar{U} $	$(U_i - \bar{U})^2$
1.	16,2	117	147	-	0,1	0,1
2.	16,5	148	136	1	0,2	0,4
3.	15,8	101	137	1	0,5	0,25

VŠST
LIBEREC

Přídelna česané příze

DP
5. LISTOPADU 1966
59

pekař.

i.	U %	slabá m.	silná m.	nepky	$ U_i - \bar{U} $	$(U_i - \bar{U})^2$
4.	16	124	131	-	0,3	0,9
5.	16,8	170	168	-	0,5	0,25
6.	15,8	102	121	-	0,5	0,25
7.	16,9	136	158	1	0,6	0,36
8.	16,8	168	149	2	0,5	0,25
Σ	130,8	1066	1147	5		2,76

$$\bar{U} = \frac{130,8}{8} = 16,3 \% \quad s = \sqrt{\frac{2,76}{7}} = 0,63$$

$$\text{Mezní hranice: } 16,3 \pm \frac{2,365 \cdot 0,63}{8} = \\ = 16,3 \pm 0,5$$

Celková nestejnomořnost příze vyrobené technologií "z lůžka" na druhém přípravárenském sortimentu pomocí depečadacího stroje DC-56 s pravděpodobností 95 % leží v rozsahu

$$15,8 - 16,8 \%$$

Naměřené hodnoty nestejnomořnosti příze vyrobené na DC-56. Přást byl vyroben na prvním sortimentu, technologií "z lůžka".

i.	U %	slabá m.	silná m.	nepky	$ U_i - \bar{U} $	$(U_i - \bar{U})^2$
1.	15,8	129	110	1	0,6	0,36
2.	16,5	166	129	1	0,1	0,1
3.	16,2	131	142	-	0,2	0,4
4.	16,2	117	131	-	0,2	0,4

VŠST
LIBEREC

Přádelna česané příze

DP

5. LISTOPADU 1966
60

pekráč.

i.	U %	slabá m.	silná m.	nepky	$ U_i - \bar{U} $	$(U_i - \bar{U})^2$
5.	16,8	143	151	-	0,4	0,16
6.	16,8	135	136	-	0,4	0,16
7.	15,8	96	100	-	0,6	0,36
8.	17,2	185	152	-	0,8	0,64
Σ	131,3	1102	1051	2		2,58

$$\bar{U} = \frac{131,3}{8} = 16,4 \% \quad s = \sqrt{\frac{2,58}{7}} = 0,61$$

$$\text{Mezní hranice: } 16,4 \pm \frac{0,61 \cdot 2,365}{8} = \\ = 16,4 \pm 0,5$$

Celková nestejnoměrnost příze vyrobené technologií "z lůžka" pomocí prvního sertimentu a na depřádacím stroji DC-65 z pravděpodobnosti 95 % leží v rozsahu

$$15,9 - 16,9 \%$$

Naměřené hodnoty nestejnoměrnosti příze vyrobené na DCA56. Přást byl vyroben na prvním sertimentu, technologií "z lůžka".

i.	U %	slabá m.	silná m.	nepky	$ U_i - \bar{U} $	$(U_i - \bar{U})^2$
1.	17	185	172	1	0,2	0,4
2.	17,5	215	173	2	0,3	0,9
3.	16,6	125	117	1	0,6	0,36
4.	16,5	132	132	-	0,7	0,49
5.	17,8	237	194	2	0,6	0,36

VŠST
LIBEREC

Přádelna česané příze

DP
5. LISTOPADU 1966
61

pokrač.

i	$U \%$	slabá m.	silná m.	nepky	$ U_i - \bar{U} $	$(U_i - \bar{U})^2$
6.	17,5	181	149	1	0,3	0,9
7.	17,2	172	148	-	•	0
8.	16,8	150	114	-	0,4	0,16
Σ	136,9	1397	1199	7		3,57

$$\bar{U} = \frac{136,9}{8} = 17,1 \% \quad s = \sqrt{\frac{3,57}{7}} = 0,71$$

$$\text{Mezní hranice: } 17,1 \pm \frac{0,71 \cdot 2,365}{7} =$$

$$= 17,1 \pm 0,6$$

Celková nestejnoměrnost příze vyroběné technologií
"z lůžka" na prvním sortimentu pomocí dopřádacího
stroje DC-56 s pravděpodobností 95 % leží v rozsahu

$$16,5 - 17,7 \%$$

Porovnání nestejnoměrnosti příze vyrobených "klasickým"
způsobem a technologií "z lůžka" na prvních sortimentech
a dopředených na dopřádacích strojích DC-56.

Klas. způsob	z lůžka
počet zkoušených petáčů	$n_1 = 8$
střední hodnota nestejnoměrnosti	$\bar{U}_1 = 15,8 \%$
směrodatná odchylka nestejnoměrnosti	$s_1 = 0,86$

$$s_d^2 = \frac{s_1^2 + s_2^2}{2} = \frac{0,74 + 0,51}{2} = 0,625$$

$$s_d = 0,79 \quad t = \frac{|\bar{U}_1 - \bar{U}_2|}{s} \sqrt{\frac{n}{2}}$$

$$t = \frac{17,1 - 15,8}{0,79} \sqrt{\frac{8}{2}} = 3,3 \quad N = 2/n_1 - 1 / \\ N = 14$$

N = stupně volnosti

Pedle tabulky čÍ.3.3 p > 99%, rozdíl mezi \bar{U}_1 a \bar{U}_2 je tedy zajištěn.

Porovnání nestejnoměrnosti příze vyrobené "klas." způsobem a technologií "z lúžka" na druhém sortimentu a dopřádacích strojích DC-56.

klas. způsob		z lúžka
počet zkoušených petáčů	$n_1 = 8$	$n_2 = 8$
střední hodnota nestejnoměrnosti	$\bar{U}_1 = 15,5$	$\bar{U}_2 = 16,3$
směrodatná odchylka nestejnoměrnosti	$s_1 = 0,8$	$s_2 = 0,63$

$$s_d^2 = \frac{0,64 + 0,40}{2} = 0,52 \quad s_d = 0,72$$

$$t = \frac{|\bar{U}_1 - \bar{U}_2|}{s} \sqrt{\frac{n}{2}} = \frac{16,3 - 15,5}{0,72} \sqrt{\frac{4}{2}} = 2,22$$

N = 14

Pedle tabulky čÍ.3.3 95 % < p < 99 %. Z toho vyplývá, že rozdíl mezi \bar{U}_1 a \bar{U}_2 není nahodilý a tento předpoklad je třeba dalšími namátkovými zkouškami dodatečně vyzkoušet.

VŠST
LIBEREC

Přádelna česací příze

DP
5. LISTOPADU 1966
63

Vyhodnocení příze po stránce stejnoměrnosti.

Jestliže perevnáme naměřené výsledky nestejnoměrnosti uvedené v předchozích tabulkách, vyplývá z tohoto perevnání ta skutečnost, že ve všech případech je výsledná nestejnoměrnost vyšší u přízi vyrobených technologickým způsobem z lůžka. Také srovnáme-li počet silných a slabých míst na přízi jsou výsledné hodnoty edečtené na idikátoru vad značně vyšší pro přízi vyrobenou technologií z lůžka. Tyto rozdíly jsou tak markantní, že je nemá k jejich vyhodnocení ani nepoužil statistických metod. Z uvedeného vyplývá, že příze vyrobená klasickým způsobem stejnoměrnější a bude mít menší počet silných a slabých míst.

Zjištění závad pomocí spektrografu Uster.

Spektrografické vyhodnocení příze vyrobené na DC- 56 pomocí I. sortimentu a technologií klasickou je na obrázku č. IV.4.1

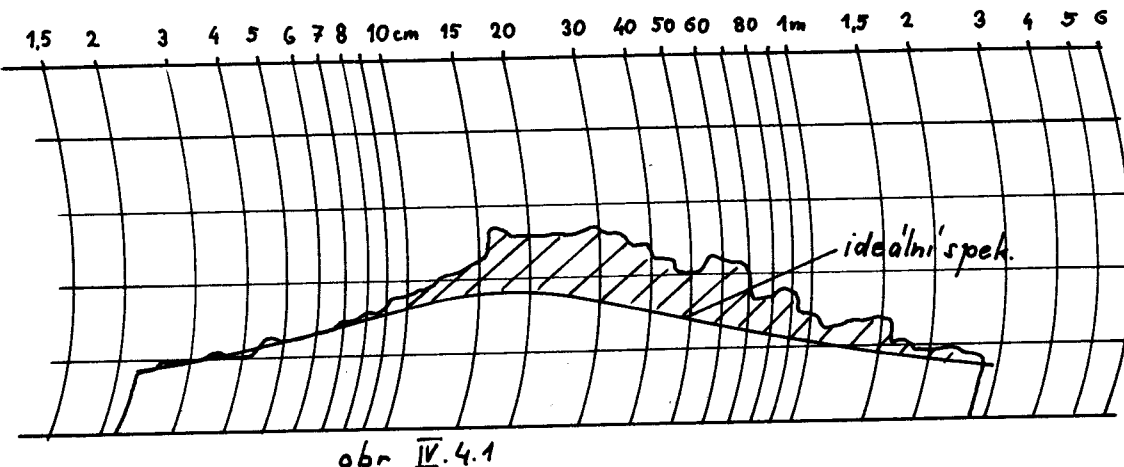
Průběh spektrogramu vykazuje až do délky vlny 15 cm prakticky ideální průběh. Zvýšení diagramu v rozmezí vlny 15 - 30 cm nám naznačuje, že závada vznikla v posledním poli průtahu, to znamená, že může být zaviněna buď - průtahovým polem prstencového depřadacího stroje
- příliš malým zatížením
- nevhodným povlakem válců / tvrdost, drsnost /
Další zvýšení grafu o střední délce vlny 60 cm je způsobeno předcházejícími pasážemi v přípravně. Obě tyto závady jsou poměrně malé a jedná se tedy pouze o lehké vady. Žádná periodická vada způsobená strejem resp. některou jeho vadnou součástí nebyla zjištěna.

Naměřená nestejnoměrnost edečtená na přístroji

Úster je $U_{sf} = 14,5 \%$

Limitní nestejnomořnost odečtená na nemogramu tab. č. VII. 5.
je $U_{lim} = 11,2 \%$

$$\text{Index nestejnomořnosti } I = \frac{U_{sf}}{U_{lim}} = \frac{14,5}{11,2} = 1,3$$



Spektrografické vyhodnocení příze vyrobene na děrácím stroji DC-56, na druhém sortimentu a technologií klasickou obr. IV. 4. 2

Spektrogram nám ukazuje prakticky ideální průběh až do vlnové délky 10 cm. Maximální vlnová délka ve spektrogramu je 28 cm. Může být tato závada způsobena opět nesprávným seřízením pole průtahu

- příliš malým zatížením
- nevhodným povlakem válců / tvrdost, drsnost /

Také tato závada je lehčího rázu. Další průběh diagramu se příliš nelší od ideálního průběhu. Nejsou pomoci spektrogramu sjistěny žádné mechanické závady stroje ani jeho částí. Průtahové vlny ve spektrogramu vznikají pouze nedostatečnou kontrolou vláken v průtahovém poli a jsou způsobovány pleveloucími vláknami.

Naměřená nestejnomořnost $U_{sf} = 15,2 \%$
limitní nestejnomořnost $U_{lim} = 11,2 \%$

VŠST
LIBEREC

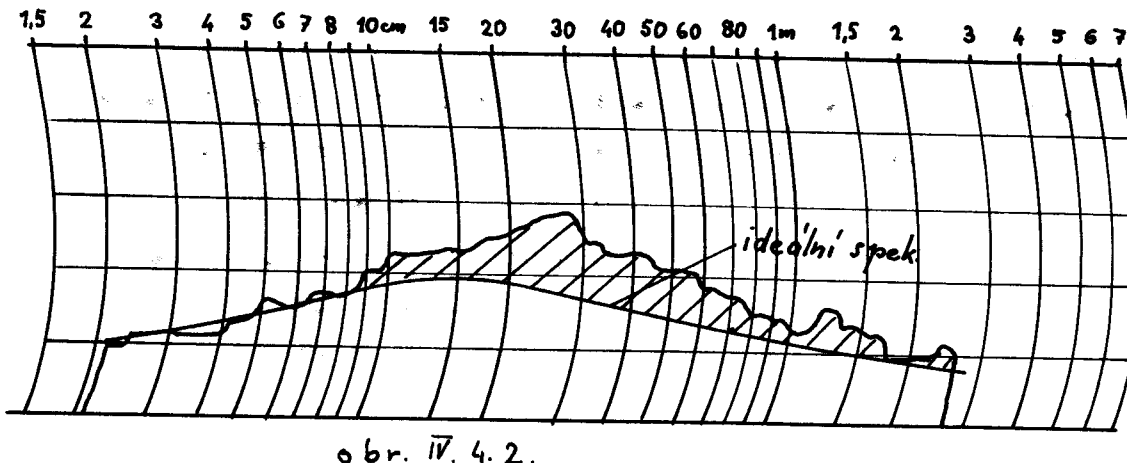
Přádelna československé příze

DP

5. LISTOPADU 1966

65

$$\text{Index něstojnoměrnosti } I = \frac{15,2}{11,2} = 1,35$$



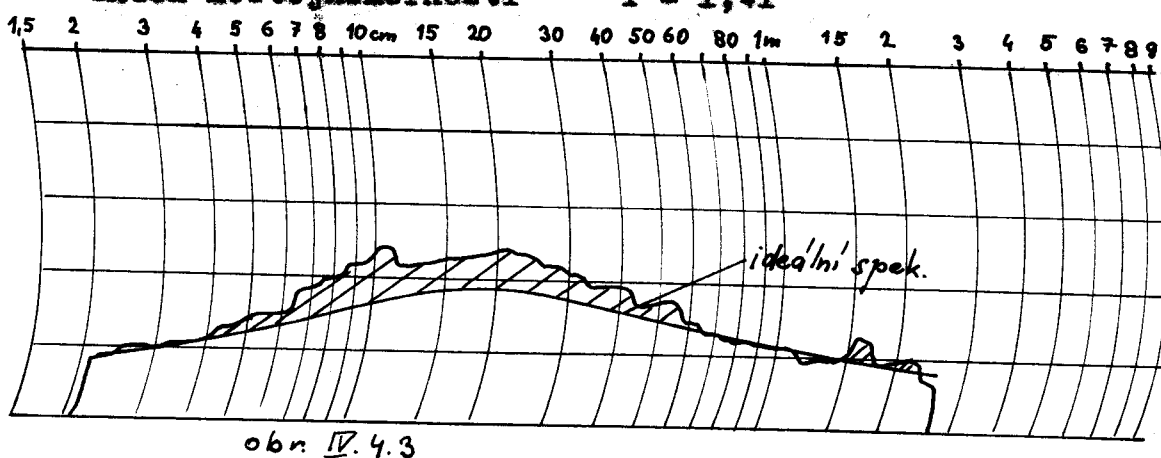
Spektrografické vyhodnocení příze vyrobene dopřádacím strojem DC-65 na prvním sertimentu, technologie z lůžka.
obr. IV. 4. 3

Z obrázku vidíme, že vyhodnocený spektrogram se nám prakticky nelší od ideálního průběhu. Bylo zaznamenáno pouze nepatrné zvýšení v délce vlny 10 cm, které však je celkem bezvýznamné a mohlo být způsobeno průtahovým ústrojím dopřádacího stroje. Žádné mechanické závady stroje ani jeho části nebyly zjištěny.

Naměřená něstojnoměrnost $U_n = 15,8\%$

Limitní něstojnoměrnost $U_{nL} = 11,2\%$

Index něstojnoměrnosti $I = 1,41$



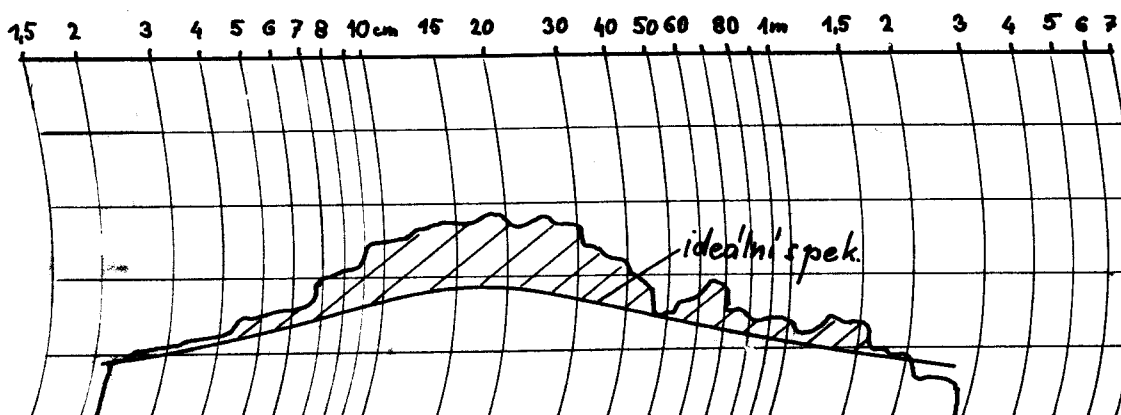
Spektrografické vyhodnocení přímo dopřádáné na
dopřádací stroji DC-69 na druhém výrobkovém, technolo-
gii s lítinkou, obr. IV. 4.4

Spektrogram zde ukazuje svýboj v rozsahu 8-40 cm.
Tato průtahová vlna způsobená plovacími věžkami nás
ukazuje na nesprávné softsení průtahu na dopřádací
stroji, nebo na malý přitisk.

Nomogram nestojnomořnosti $U_0 = 16,5 \%$

Limitní nestojnomořnost $U_{k,p} = 11,2 \%$

Index nestojnomořnosti $I = 1,47$



obr. IV. 4.4

Indexy nestojnomořnosti nám naznačují, že lépe pracuje
dopřádací stroje, které spracovávají předst. vyrobený
klasickým způsobem, i když spektrografen nevyznačují
jednu mechanickou návadu, ale pouze závady způsobené
průtahovým polem dopřádacího stroje. Nedostatečnou
kontrolou vláken, a to u obou sledovaných technologi-
čních postupů.

VŠST
LIBEREC

Přádelna česané příze

DP
5. LISTOPADU 1966
67

Výsledná srovnávací tabulka naměřených hodnot nestejnoměrnosti pro technologii "klasickeu".

klasický způsob			
	I.sertiment	II.sertiment	
česanec	U%	4,2	4,8
přást I.pasáž	U%	2,9	2,6
přást II.pas.	U%	2,6	2,7
přást III.pas.	U%	3	2,9
přást IV.pas.	U%	4,3	4,1
příze DC-56	U%	15,8	15,5
příze DC-65	U%	14,9	15,2

tab. IV.34

Výsledná srovnávací tabulka naměřených hodnot nestejnoměrnosti pro technologii "z lůžka".

technologie "z lůžka"			
	I.sertiment	II.sertiment	
česanec	U%	7	4,3
přást I.pasáž	U%	3,4	2,4
přást II.pas.	U%	3,4	2,5
přást III.pas.	U%	3,9	2,8
přást IV.pas.	U%	4,7	4,8

VŠST
LIBEREC

Přádelna česané příze

DP
5. LISTOPADU 1966
68

pekrač. tabulky

		I.sortiment	II.sortiment
příze DC-56	U%	17,1	16,3
příze DC-65	U%	16,4	17,4

tab. IV. 3.5

VŠST
LIBEREC

Předelna česacne příze

DP
5. LISTOPADU 1966
69

V. Perevnání nákladů na výrobu česanou, jak způsoben technologie s lúžkou tak způsobem klasickým.

1 / Náklady za 1 kg sušei 45/55 vl/Po při použití technologie s lúžkou.

Kalkulační výsledek

1/ základní materiál	61,481	ts
2/ odpad	-0,567	"
3/ přímé mady	0,604	"
4/ režie	3,888	"
Vlastní náklady	65,406	"
5/ kalkulované změny nerem	2,376	"
6/ kalkulovaný zisk	-4,882	"
7/ VC	62,90	

Náklady na technologii klasickou.

2 / Náklady na samotný tesilevý česanc

1/ základní materiál	44,555	ts
2/ odpad	-0,508	"
3/ přímé mady	0,650	"
4/ režie	3,722	"
Vlastní náklady	48,419	"
5/ kalkulované změny nerem	0	"
6/ kalkulovaný zisk	1,081	"
7/ VC	49,50	

VŠST
LIBEREC

Prádelna česací příze

DP

5. LISTOPADU 1966

70

B / Náklady na vlněný česací.

1/ základní materiál	77,838	čs
2/ odpad	-1,837	"
3/ přímé mzdy	0,650	"
4/ režie	3,722	"
Vlastní náklady	80,373	"
5/ kalkulované mzdy norem	0	
6/ kalkulovaný zisk	-1,173	"
7/ VC	79,20	"

Jestliže směsime 45 % vlny a 55 % tencílu, bude celkové náklady na výrobu jedného kg směsového česacího prezatím bez míšení tyto:

1/ základní materiál	59,532	čs
2/ odpad	-1,106	"
3/ přímé mzdy	0,650	"
4/ režie	3,722	"
Vlastní náklady	62,798	"
5/ kalkulované mzdy norem	0	
6/ kalkulovaný zisk	0,102	"
7/ VC	62,90	"

Náklady na míšení.

1/ základní materiál	0,189	čs
2/ odpad	-0,023	"
3/ přímé mzdy	0,100	"

VŠST
LIBEREC

Práce na řízení výroby

DP	5. LISTOPADU 1966
71	

4/ ročník	0,591	8
Vlastní náklady	0,857	*
5/ kalkulované množiny nových	-0,369	*
6/ kalkulovaný zisk	-0,688	*
7/ VC	0	

Nyní srovnáme celkové náklady na výrobu jednotky kilogramu řízeného pomocí technologie klasické už celkově i se srovnáním.

1/ základní materiál	39,721	8
2/ odjíma	-1,129	*
3/ přidávány	0,750	*
4/ ročník	4,313	*
Vlastní náklady	63,655	*
5/ kalkulované množiny nových	-0,369	*
6/ kalkulovaný zisk	-0,586	*
7/ VC	62,90	*

Jestliže nyní srovnáme náklady na výrobu jednotky kilogramu řízené klasickou spásobou a technologií anhydru, vidíme tedy, že se nám sníží cena základného materiálu při technologii klasické a sníží se nám svýší přidávány a ročník. Celkové vlastní náklady jsou však nížší na výrobu řízené spásobou klasickým. Další náklady, jak se připomíná, tak i z místního, závisí na obě technologie stejně, a proto je zde už neuvažováno.

VI. Závěr.

Chystal bych učiniti závěry ze své práce, která by měla podati obraz o kvalitě příze, pokud se týče stejnoměrnosti, a srovnání obou technologií, kterými je příze vyráběna. Jedním z nedostatků této srovnávací studie je to, že v době kdy jsem na své práci pracoval v závodě Křešice, nebylo možné dosáhnout stejné kvality obou směsových komponent. Jedná se o sležku polyesterevnou. Při technologii výroby příze klasickým způsobem bylo jako polyesterové komponenty použito polyesterového vlákna terylen a při zpracování příze technologií z lúžka bylo jako polyesterové komponenty použito našeho polyesterového vlákna tesil. Zpracovávaná polyesterová stříž má řeznou délku 110mm a titr 4 den. Jaké komponenty vlněné je použito vlny kapská 64 's.

Proteže přádelna v Křešicích zpracovává směsový česanc vyrábený klasickým způsobem v Nejdku, nemohl jsem podrobnejší rezebrat jednotlivé surovinové komponenty, pokud se týče délky staplu a jemnosti vlákna. Ve své práci jsem však přihlížel k jakosti česanců, a to jak vyrábených klasickým způsobem, tak i technologií z lúžka. Stapl česance vyrobeného z lúžka se vyznačuje značným zkrácením vláken, naproti tomu stapl česance vyrobeného klasickým způsobem má průběh téměř ideální.

V dalším srovnávání obou technologií jsem se změřil hlavně na rozber nestejnoměrnosti. Jestliže přihlížneme k nestejnoměrnostem získaným na IV. pasážích finisérů, můžeme říci, že prásty vyrobené technologií klasickou mají podstatně nižší hodnotu nestejnoměrnosti. Z toho vyplývá, že lepší kvality prástu se dosáhne zpracováním prástu klasickým způsobem. Jestliže máme porovnat práci obou finisérů, není možno již tak jedneznacně prohlásit, který z finisérů nám dodává kvalitnější prást co do nestejnoměrnosti. Zde musíme přihlížnout také ke konstrukci stroje a používané technologii.

Také porovnání variačních koeficientů jednotlivých

naměřených hodnot nestejneměrnosti nám může poslat
obraz o praci stroje.

Variační koeficient pro naměřené hodnoty nestejneměrnosti přástu vyrobeného na finiséru FG-3, klasickým způsobem.

$$v = \frac{s}{\bar{U}} \cdot 100 \% \quad s = \sqrt{\frac{1}{n-1} \sum_{i=1}^n (U_i - \bar{U})^2}$$

$$v = \frac{0,52}{4,1} \cdot 100 = 12,7 \% \quad s = 0,52$$

Variační koeficient pro naměřené hodnoty nestejneměrnosti přástu vyrobeného na finiséru FM-1, klasickým způsobem.

$$v = \frac{0,607}{4,3} \cdot 100 = 14,1 \% \quad s = 0,607$$

Variační koeficient pro naměřené hodnoty nestejneměrnosti přástu vyrobeného na finiséru FG-3, technologí z lúžka.

$$v = \frac{0,49}{4,8} \cdot 100 = 10,2 \% \quad s = 0,49$$

Variační koeficient pro naměřené hodnoty nestejneměrnosti přástu vyrobeného na finiséru FM-1, technologí z lúžka.

$$v = \frac{0,615}{4,7} \cdot 100 = 13,1 \% \quad s = 0,615$$

Převnáme-li variační koeficienty, vyplývá z uvedených hodnot, že finiséry FG-3 budou pracovat s menším rozptylem hodnot nestejneměrnosti od průměrné střední hodnoty nestejneměrnosti \bar{U} .

Porevnáme-li práci obou finisérů z technologického hlediska, pro výrobu přástu Čm 1,5 a směs 45/55 vl/Pe vidíme, že finisér FM-1 není plně využito z hlediska funkce, pro kterou je tento stroj určen. Finisér FM-1 je vysokoprůtažný stroj s velikým rozsahem průtahů /9,2 - 29,7/, který se hodí spíše pro výrobu vyšších čísel přástu 2,0 - 3,5 Čm. Stroj pracuje z nižší vahou předlehky. Výhodou je vyšší odváděcí rychlosť.

Stroj FG-3 má nižší rozsah průtahu / 5,1 - 10,6 /, vyrábíme na něm čísla přástu do Čm 1,5. Výhodou tohoto stroje však je, že zde nevznikají neprotažená místa jako u stroje FM-1. Výkony obou strojů jsou přibližně stejné.

Je jasné, že rozbor těch několika cívek nám nestačí na přesné rozhodnutí, který z obou finisérů nám zaručuje lepší kvalitu přástu, je však možno z uvedeného naznačit že pro výrobu směsového přástu 45/55 vl/Pe a Čm 1,5 bude výhodnější používat hřebenového finiséra FG-3 i když tyto stroje se vyznačují velikou hlučností a tím zhrošují pracovní prostředí.

Ce se týče práce doplňacích strojů DC-56 a DC-165 jsou oba typy strojů v závodě Křešice vybaveny dvoukůžičkovým protahovacím ústrojím a tedy by v kvalitě vyrobené příze neměly být žádné veliké rozdíly. Také když si srovnáme výsledné hodnoty nestejnoměrnosti vidíme, že mezi hodnotami nestejnoměrnosti nejsou veliké rozdíly co se týče srovnání hodnot pro stejné technologické postupy. Jestliže srovnáváme oba technologické postupy je už patrný rozdíl mezi technologií klasickou a technologií z lůžka. Naměřené hodnoty nestejnoměrnosti pro přízi vyrobenu technologií z lůžka jsou značně vyšší, než hodnoty nestejnoměrnosti příze vyrobené technologií klasickou. Tato větší nestejnoměrnost nebude způsobena tím, že u technologie z lůžka je zpracováván přást o vyšší hodnotě nestejnoměrnosti, ale vyšším procentem krátkých vláken obsažených v česanci, který byl vyroben technologií z lůžka.

Dalšími ukazateli, kteří svědčí o lepší kvalitě příze vyrobené klasickým způsobem, je počet silných a slabých

VŠST
LIBEREC

Prádelna česané příze

DP
5. LISTOPADU 1966
75

míst v přízi. Tyto hodnoty získané indikátorem vad Uster přímo v číselných hodnotách nám ukazují jaký je rozdíl v kvalitě obou přízí. U příze vyrobené technologií z lůžka je počet slabých a silných míst 2x větší než u příze vyrobené technologií klasickou.

Z naměřených hodnot nestejnoměrnosti se jako nejvýhodnější pro výrobu česané příze Čm 40 45/55 vl /Pe, jeví tento stručný technologický postup: výroba česance klasickým způsobem, zpracování přástu na druhém připravárenském sortimentu s finisérem FG-3 a dopředení na DC-65 s dvoukůžičkovým protahovacím ústrojím.

Při porovnání nákladů na 1 kg česance vyrobeného klasickým způsobem a 1 kg česance vyrobeného z lůžka se dá říci, že i vlastní náklady jsou menší na výrobu česance klasickým způsobem. Co se týče dalšího zpracování česance v přást a přízi, zůstávají náklady na přípravně i prádelně stejně pro oba technologické způsoby.

Svoji práci jsem vykonával v závodě Křešice, který vyrábí uvedený druh příze a je vybaven zkušebním přístrojem Uster. Také všechny číselné hodnoty byly vzaty z podkladů poskytnutých závodem.

VŠST
LIBEREC

Přádelna česané příze

DP

5. LISTOPADU 1966

76

Seznam použité literatury.

- 1/ Prof. Ing. J. Šimén: Teorie předení I., II., III., 1959
- 2/ Ing. J. Černý: Laboratorní cvičení z textilních materiálů, 1958
- 3/ P. Klaga: Cestovní zpráva z cesty do Francie 1961
- 4/ MSP: Zajímavosti nové techniky textilního průmyslu 1961
- 5/ Prospekty fy. Zellweger AG. Uster Schweiz

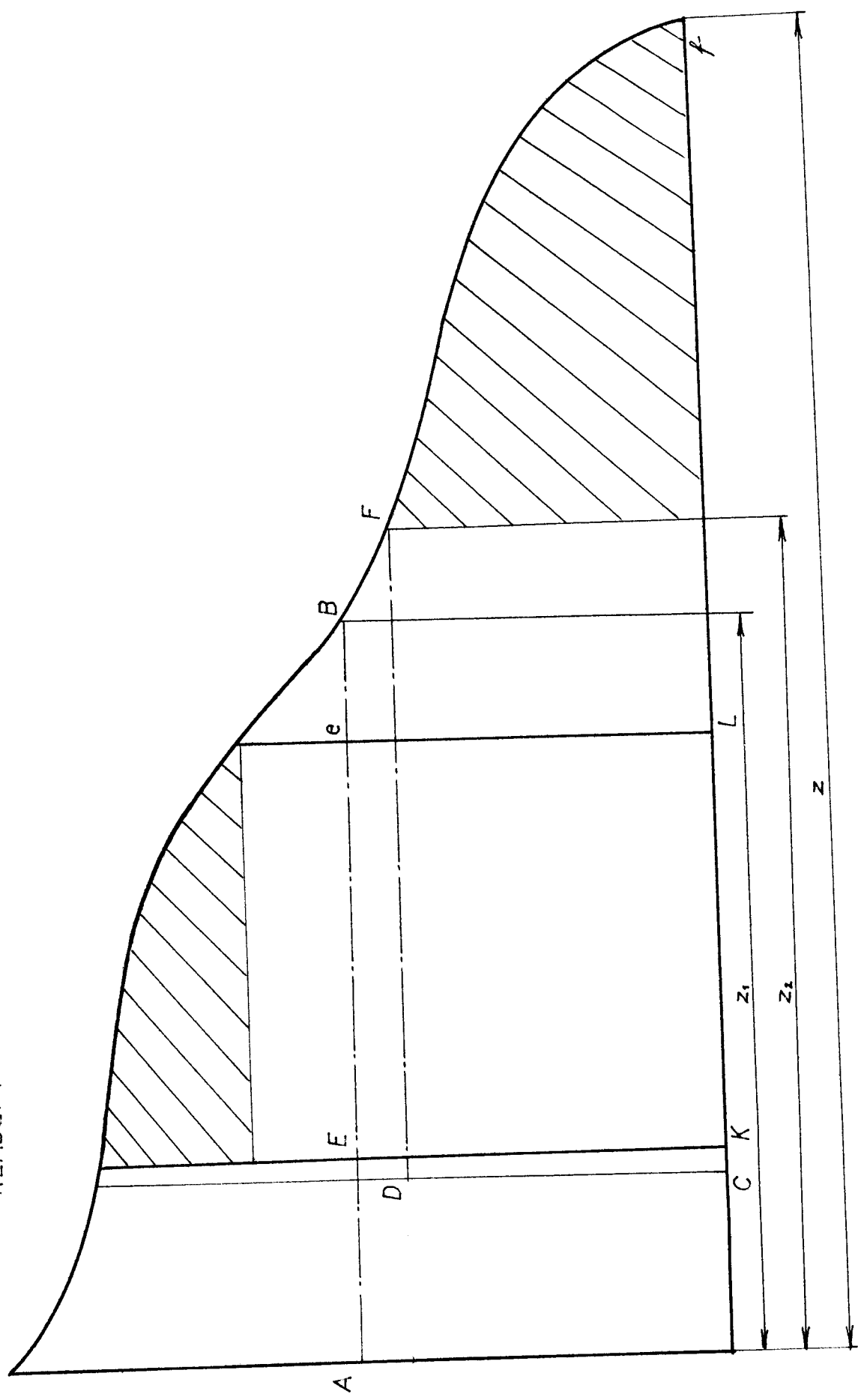
VŠST		DP
LIBEREC	Přádelna česané příze	5. LISTOPADU 1966
		77

Seznam příloh:

- 1/ Kladený staplový diagram česance vyrobeného z lůžka.
- 2/ Kladený staplový diagram česance vyrobeného klasickým způsobem.
- 3/ Váhevý staplový diagram česance vyrobeného klasickým způsobem.
- 4/ Váhevý staplový diagram česance vyrobeného z lůžka.
- 5/ Nomeogram

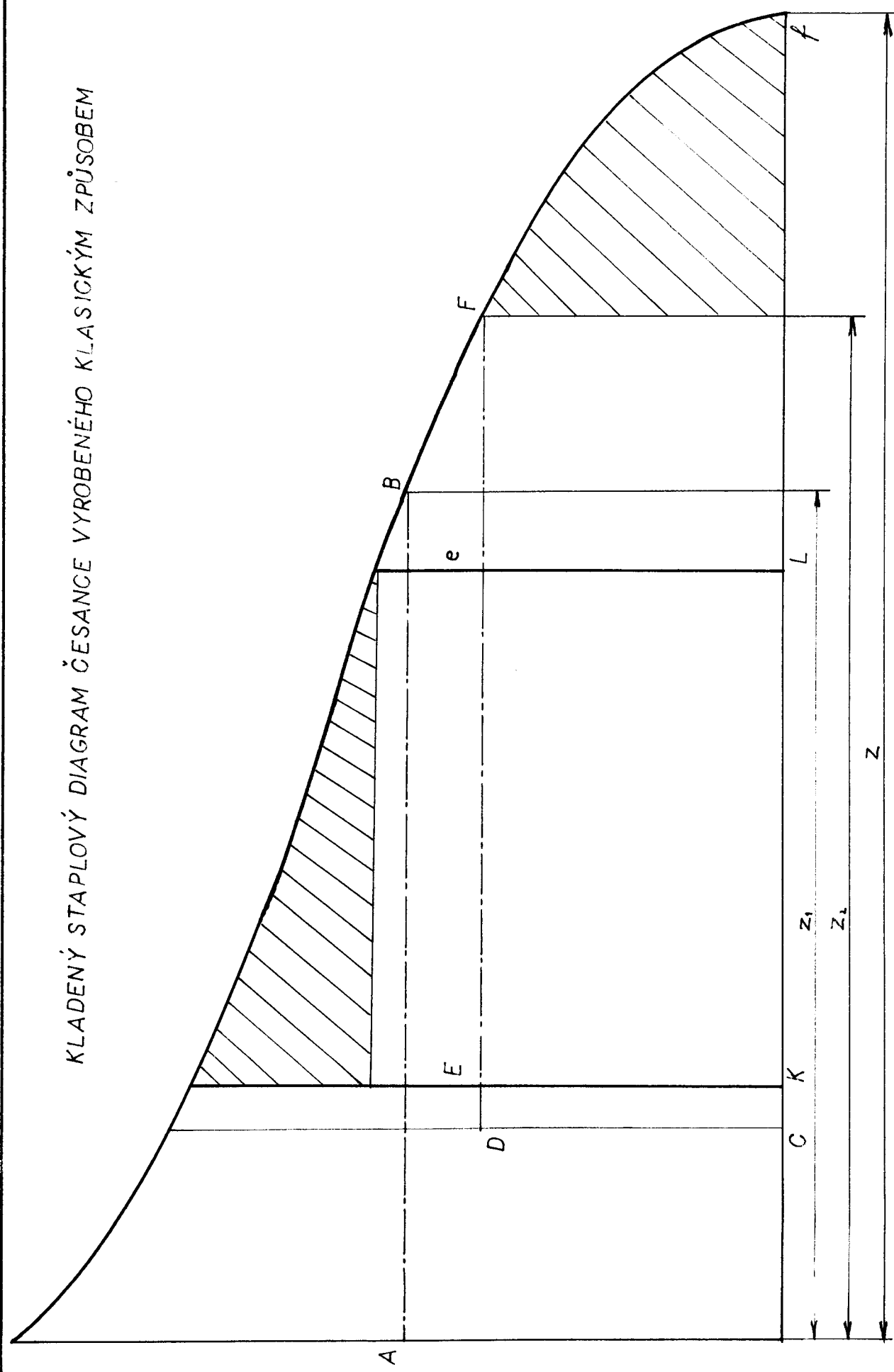
KLADENÝ STAPLOVÝ DIAGRAM ČESANCE VYROBENÉHO Z LŮŽKA

obr. VII. 1



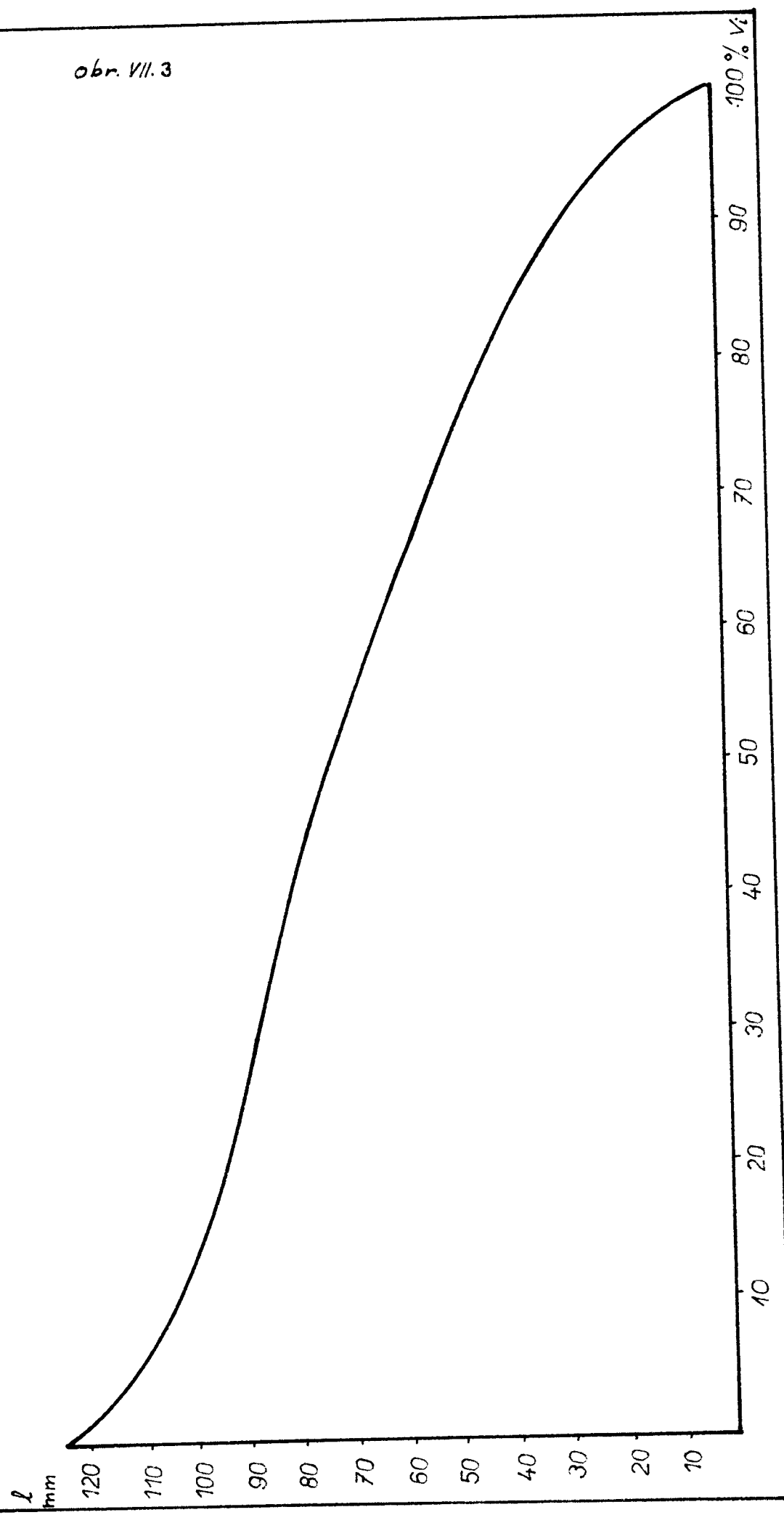
KLADEMÝ STAPLOVÝ DIAGRAM ČESANCE VYROBENÉHO KLASICKÝM ZPUŠOBEM

obr. VII. 2



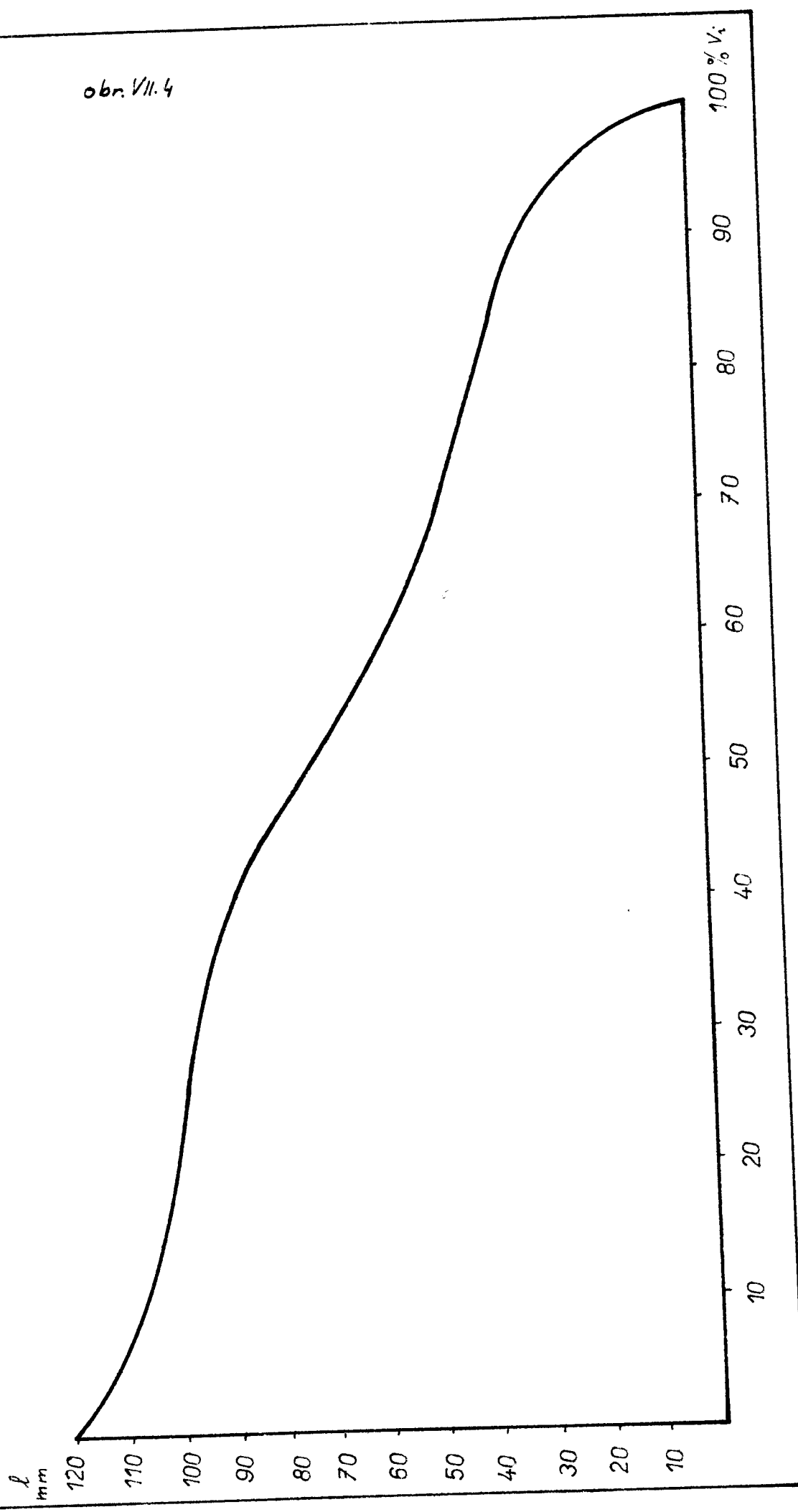
VÁHOVÝ STAPLOVÝ DIAGRAM ČESANÉ VYROBENÉHO KLASICKÝM ZPŮSOBEM

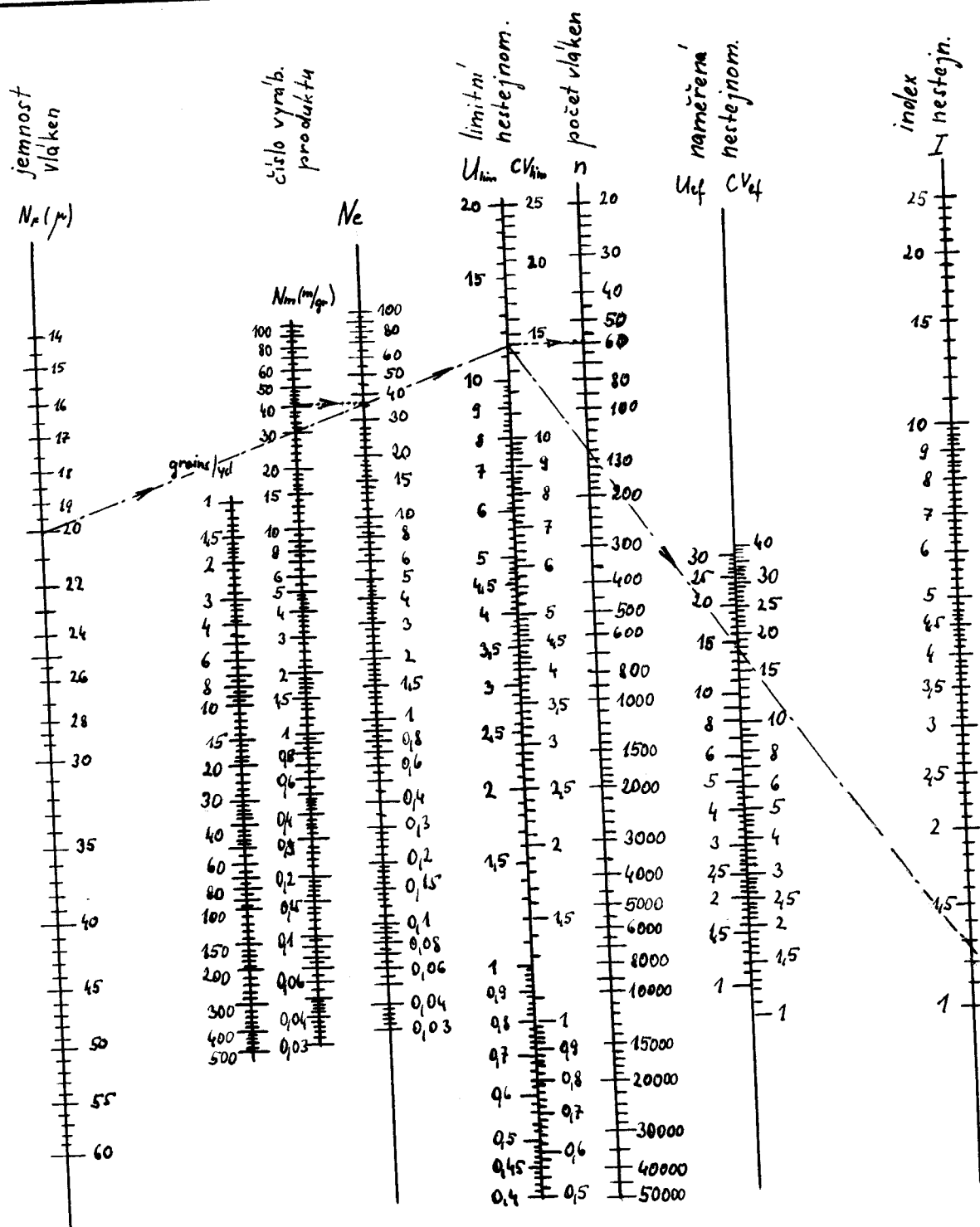
obr. VII. 3



VÁHOVÝ STAPLOVÝ DIAGRAM ČESANCE VYROBENÉHO Z LŮŽKA

obr. VII.4





Nemogram závislosti nestejnoměrnosti na jemnosti vlněného vlákna. tab. VII. 5